

## บทที่ 4

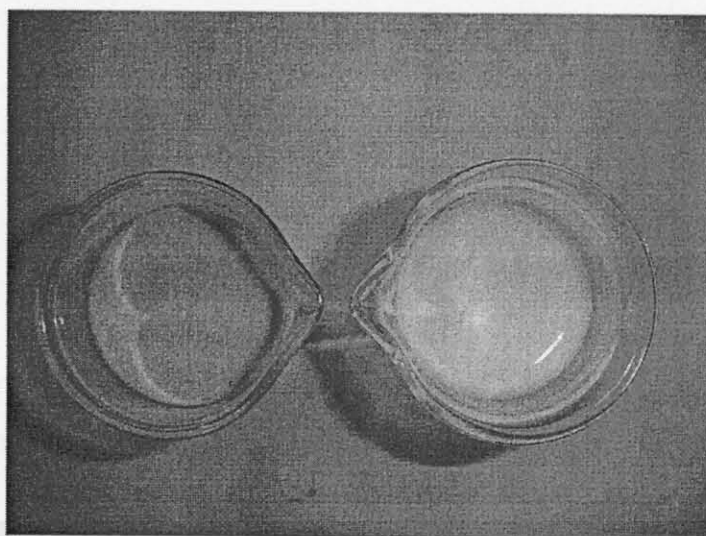
### ผลการทดลองและวิจารณ์

ส่วนที่ 1 การรายงานผลตามขอบเขตงานวิจัยโดยใช้ Coumarone resin และเปลี่ยนข้าวเหนียวเจลตัดในชี้ เป็นส่วนผสมร่วมในการน้ำยางธรรมชาติอีพอกไซด์

#### 4.1 การวิเคราะห์สมบัติของน้ำยางธรรมชาติอีพอกไซด์

##### 4.1.1 ลักษณะและสมบัติทางกายภาพของน้ำยางธรรมชาติอีพอกไซด์

น้ำยางธรรมชาติอีพอกไซด์ที่เตรียมได้มีค่าความหนาแน่น และความหนืดเท่ากับ 0.85 กรัมต่อลูกบาศก์เซนติเมตร และ 9,750 cps ตามลำดับ ซึ่งมีค่าใกล้เคียงกับความหนาแน่นและความหนืดของน้ำยางขันที่เท่ากับ 0.91 กรัมต่อลูกบาศก์เซนติเมตร และ 9,870 cps ตามลำดับ เมื่อเปรียบเทียบสีของน้ำยางธรรมชาติอีพอกไซด์กับน้ำยางขัน พนวันน้ำยางธรรมชาติอีพอกไซด์มีสีขาวๆ แต่น้ำยางขันมีสีเหลืองค่อนไปทางน้ำตาลอ่อน ดังแสดงในภาพประกอบที่ 30

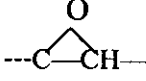


ภาพประกอบที่ 30 แสดงลักษณะน้ำยางธรรมชาติอีพอกไซด์จากปฏิกริยาอีพอกซิเดชัน โดยใช้กรดเบอร์ฟอร์มิก (ขวา) และลักษณะน้ำยางขัน (ซ้าย)

#### 4.1.2 ผลของการวิเคราะห์ปริมาณหมู่อีพอกไซด์

จากการทดลองเตรียมน้ำยางชรรมชาติอีพอกไซด์จากปฏิกิริยาอีพอกซิเดชัน โดยใช้กรดเปอร์ฟอร์มิกทำปฏิกิริยาที่อุณหภูมิ 50 องศาเซลเซียส เป็นเวลา 9 ชั่วโมง และเก็บตัวอย่างน้ำยางชรرمชาติอีพอกไซด์ทุก 1 ชั่วโมง เพื่อนำไปวิเคราะห์หาปริมาณหมู่อีพอกไซด์ด้วยเทคนิคแมกนีติกเรโซแนนซ์สเปกตรอสโคปี ( $^1\text{H-NMR}$ ) และเทคนิคอินฟราเรดสเปกตรอสโคปี (FT-IR) พบคำແນ່ງของหมู่ฟังก์ชันของยางชรرمชาติอีพอกไซด์ ซึ่งสอดคล้องกับผลการวิจัยของวัชรินทร์ สายน้ำใส [7] แสดงดังตารางที่ 11

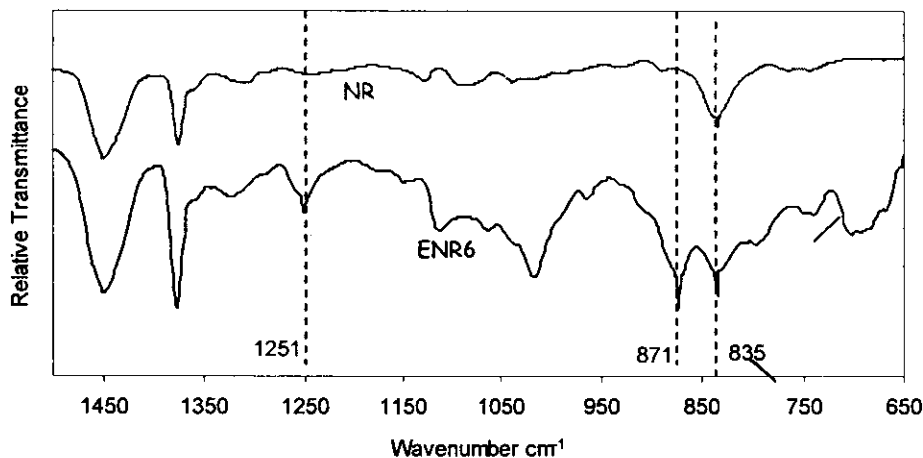
ตารางที่ 11 แสดงคำແນ່ງของหมู่ฟังก์ชันของยางชรرمชาติอีพอกไซด์ [7]

หมู่ฟังก์ชัน	FT-IR ( $\text{cm}^{-1}$ )	$^1\text{H-NMR}$ (ppm)
-CH <sub>3</sub>	2956, 1377	1.66
-CH <sub>2</sub> -	2925, 1446	2.06
-C=C-	1657	-
=CH( <i>cis</i> -1,4)	835	-
-C=CH-	-	5.01
	870, 1240	2.70
OH	3600-3200	-
Furan	1065	-
Ether	1800-1650	-

หลังจากการวิเคราะห์ด้วยเทคนิคอินฟราเรดสเปกตรอสโคปี (FT-IR) เพื่อหาสเปกตรัมอินฟราเรดของยางชรرمชาติอีพอกไซด์แสดงดังภาพประกอบที่ 31 พนແບກการคูดกลืนแสงอินฟราเรดที่คำແນ່ງเลขคลื่นใหม่เพิ่มขึ้นมาจากสเปกตรัมอินฟราเรดของยางชรرمชาติ คือ ปรากฏที่คำແນ່ງเลขคลื่น  $871 \text{ cm}^{-1}$  และ  $1251 \text{ cm}^{-1}$  ซึ่งແບກการคูดกลืนแสงอินฟราเรดที่คำແນ່ງดังกล่าวเป็นคำແນ່ງของหมู่อีพอกไซด์ แสดงว่ามีหมู่อีพอกไซด์อยู่บนโครงสร้างของยางชรرمชาติ หลังการทำปฏิกิริยาอีพอกซิเดชัน นำสเปกตรัมอินฟราเรดของยางชรرمชาติอีพอกไซด์ที่ได้ไปคำนวณหาอัตราส่วนการคูดกลืนแสง (Absorbance ratio) ดังสมการที่ (3) ของແບກการคูดกลืนแสงอินฟราเรดที่คำແນ່ງเลขคลื่น  $870 \text{ cm}^{-1}$  ต่อແບກการคูดกลืนแสงอินฟราเรดที่คำແນ່ງเลขคลื่น  $835$

$\text{cm}^{-1}$  ซึ่งแสดงการเกิด Out of plane bending ของพันธะ C-H ที่เก้ากับ C=C เพื่อคำนวณหาปริมาณ หมู่อีพอกไซด์

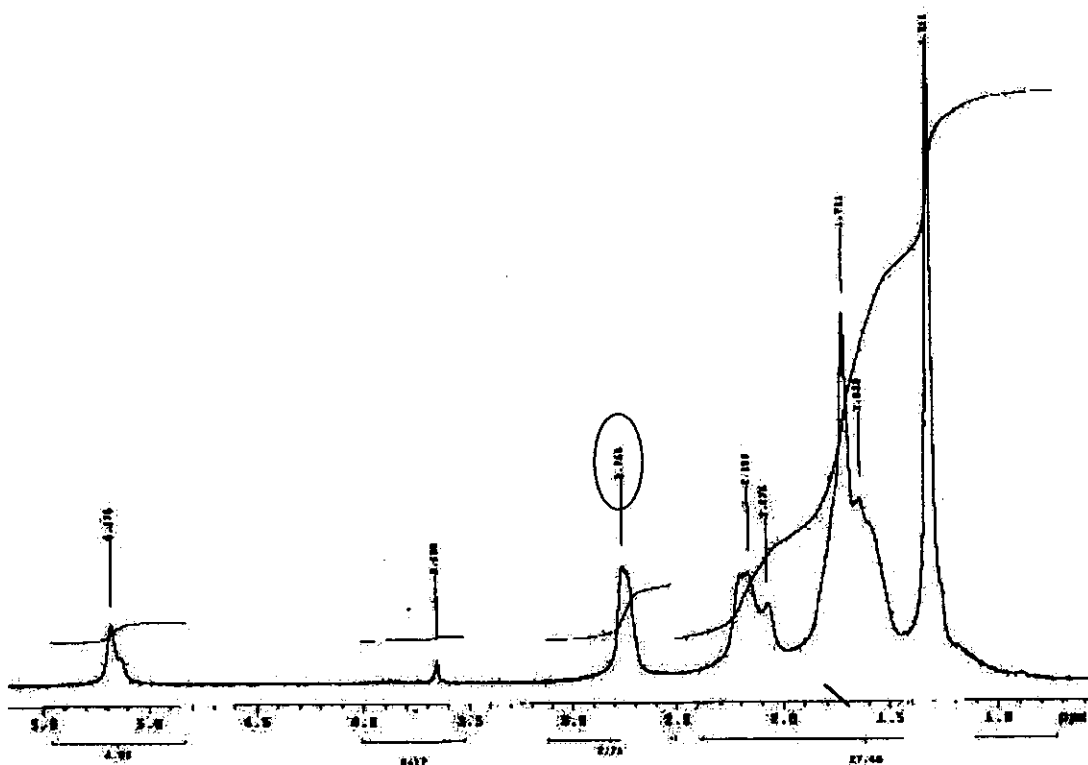
$$\text{Absorbance ratio} = \frac{a_{870}}{a_{870} + a_{835}} \quad (3)$$



ภาพประกอบที่ 31 แสดงกราฟสเปกตรัมอินฟราเรดของยางธรรมชาติและยางธรรมชาติอีพอกไซด์ ที่ระยะเวลาการเกิดปฏิกิริยา 6 ชั่วโมง

การวิเคราะห์ด้วยเทคนิคแม่เหล็กไฟฟ้าสเปกโตรสโคป ( $^1\text{H-NMR}$ ) พบว่า  $^1\text{H-NMR}$  spectrum ของยางธรรมชาติอีพอกไซด์ในภาพประกอบที่ 32 ซึ่งแสดงโปรดตอนที่เก้าอยู่ กับการบอนที่พันธะคู่ของยางธรรมชาติที่ประมาณ 5.14 ppm และโปรดตอนที่เก้าอยู่กับการบอนของ หมู่อีพอกไซด์ที่ประมาณ 2.70 ppm แสดงว่ามีหมู่อีพอกไซด์เกิดขึ้นบนโครงสร้างของยางธรรมชาติ สามารถคำนวณเปอร์เซ็นต์โมลอีพอกไซด์ได้จากอัตราส่วนของพื้นที่ไดจุดยอด โดยอาศัย ความสัมพันธ์ดังสมการที่ (2)

$$\% \text{ Mole epoxide} = \frac{A_{2.70}}{A_{2.70} + A_{5.14}} \times 100 \quad (2)$$

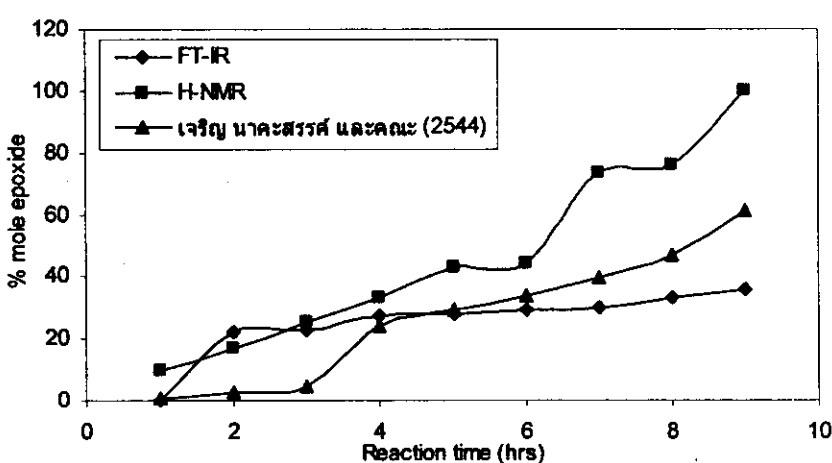


ภาพประกอบที่ 32 แสดง  $^1\text{H-NMR}$  สเปกตรัมของยางธรรมชาติอีพอกไซด์ที่รับระยะเวลาการเกิดปฏิกิริยา 6 ชั่วโมง

จากการวิเคราะห์ตัวอย่างของยางธรรมชาติอีพอกไซด์ด้วยเทคนิค  $^1\text{H-NMR}$  โดยคำนวณเปอร์เซ็นต์ในอีพอกไซด์ ได้จากอัตราส่วนของพื้นที่ไดจุดยอดที่protoon เกาะอยู่กับ carbons ที่เกิดพันธะถูกที่ประมาณ 5.14 ppm ต่อพื้นที่ไดจุดยอดของ protoon ที่เกาะอยู่กับ carbons ของหมู่อิพอกไซด์ที่ประมาณ 2.70 ppm และจากการวิเคราะห์ด้วยเทคนิค FT-IR ได้สเปกตรัมของยางธรรมชาติอีพอกไซด์ แล้วนำไปคำนวณอัตราส่วนการคูคูคลีน (Absorbance ratio) ของแถบการคูคูคลีนแสงอินฟราเรดที่ตำแหน่งเลขคลีน  $870 \text{ cm}^{-1}$  ต่อแถบการคูคูคลีนแสงอินฟราเรดที่ตำแหน่งเลขคลีน  $835 \text{ cm}^{-1}$  เพื่อคำนวณปริมาณหมู่อิพอกไซด์โดยเปรียบเทียบกับกราฟมาตรฐาน [11] ซึ่งผลการคำนวณแสดงดังตารางที่ 12 และในภาพประกอบที่ 33

ตารางที่ 12 อัตราส่วนการดูดกลืนและปริมาณหมู่อีพอกไซด์ของยางธรรมชาติอีพอกไซด์ที่เวลาต่างๆ ในการทำปฏิกิริยาโดยการวิเคราะห์ด้วยเทคนิค FT-IR และเทคนิค  $^1\text{H-NMR}$

เวลาในการทำปฏิกิริยา (ชั่วโมง)	เทคนิค FT-IR		เทคนิค $^1\text{H-NMR}$	
	Absorbance ratio	% Mole epoxide	% Mole epoxide	% Mole epoxide
1	-	-	-	9.9
2	0.42	22	-	16.7
3	0.44	23	-	25.4
4	0.47	27	-	32.9
5	0.48	28	-	42.8
6	0.49	29	-	44.1
7	0.50	30	-	73.2
8	0.53	33	-	75.7
9	0.55	36	-	100



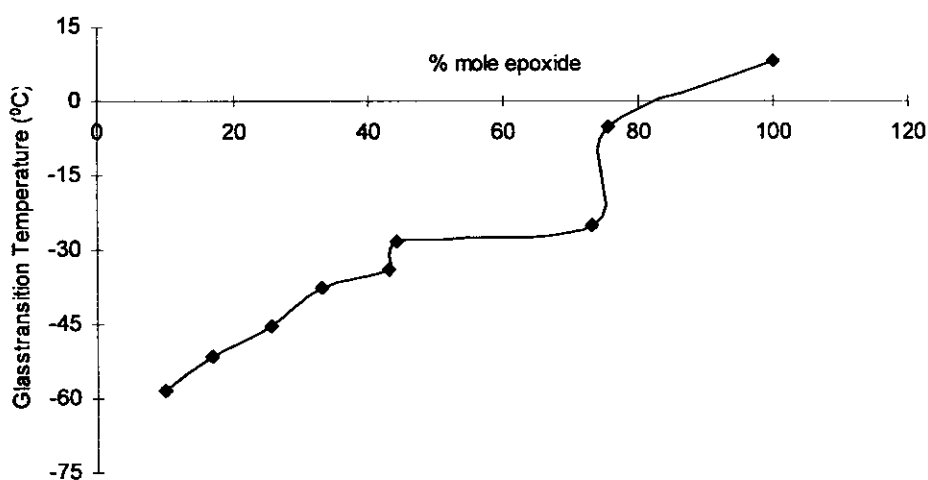
ภาพประกอบที่ 33 แสดงความสัมพันธ์ระหว่างเปอร์เซ็นต์โนโลจิอีพอกไซด์กับเวลาที่ใช้ในการทำปฏิกิริยา

จากภาพประกอบที่ 33 แสดงความสัมพันธ์ระหว่างเปอร์เซ็นต์โนโลจิอีพอกไซด์กับเวลาในการทำปฏิกิริยา พบว่าเมื่อเพิ่มเวลาในการทำปฏิกิริยาจะทำให้เกิดหมู่อีพอกไซด์บนไมเลกุลยางธรรมชาติมากขึ้นซึ่งสอดคล้องกับผลการวิจัยของเรชิญ นาคะสรรษ และคณะ, 2544 [10]

ด้วยเทคนิค FT-IR โดยพบว่าเมื่อเพิ่มเวลาในการทำปฏิกิริยาอีพอกไซด์ขึ้น หมู่อีพอกไซด์ที่เกิดขึ้นบนไมเลกุลของยางธรรมชาติก็จะมีมากขึ้นด้วย ทั้งนี้เนื่องมาจากเวลาในการทำปฏิกิริยาที่เพิ่มขึ้นทำให้โอกาสที่กรดเปอร์ฟอร์มิกจะเข้าทำปฏิกิริยาตรงตำแหน่งพันธะกู่ที่ไม่อ่อนตัวบนไมเลกุลของยางธรรมชาติ เพื่อเกิดเป็นหมู่อีพอกไซด์มีมากขึ้น อย่างไรก็ตามผลการวิเคราะห์ด้วยเทคนิค FT-IR และเทคนิค  $^1\text{H-NMR}$  ยังมีความแตกต่างของเปอร์เซ็นต์โนโลจิอีพอกไซด์อยู่มาก ซึ่งหากดูจากการวิเคราะห์ด้วยเทคนิค FT-IR ผลที่ได้อาจมีความคลาดเคลื่อนมาก เนื่องจากกระบวนการคำนวณอัตราส่วนการดูดกลืนจากความสูงของตำแหน่งเลขคู่ (a ในสมการที่ 1) ซึ่งหากใช้ Base line ที่ต่างกันก็จะมีผลต่อการคำนวณอัตราส่วนการดูดกลืนอย่างชัดเจน นอกเหนือไปแล้วต้องนำอัตราส่วนที่ได้ไปอ่านค่าจากกราฟมาตรฐานทำให้เกิดความคลาดเคลื่อนได้อีกทางหนึ่ง ซึ่งต่างจากการวิเคราะห์ด้วยเทคนิค  $^1\text{H-NMR}$  สามารถคำนวณเปอร์เซ็นต์โนโลจิอีพอกไซด์ได้จากอัตราส่วนของพื้นที่ไดจุดยอดได้โดยตรง ดังนั้นในการอ้างอิงเปอร์เซ็นต์โนโลจิอีพอกไซด์ในงานวิจัยนี้ขออ้างอิงจากผลการวิเคราะห์ด้วยเทคนิค  $^1\text{H-NMR}$

#### 4.1.3 ผลของการวิเคราะห์สมบัติเชิงความร้อน

การวิเคราะห์หาอุณหภูมิกล้ายแก้วของยางธรรมชาติอีพอกไซด์ได้ โดยการใช้โปรแกรมคอมพิวเตอร์จากเครื่อง DSC คำนวณหา inflection point ซึ่งเป็นจุดที่แสดงถึงค่าอุณหภูมิกล้ายแก้ว (Glass transition temperature, T<sub>g</sub>) ซึ่งผลที่ได้นำไปหาความสัมพันธ์ระหว่างค่าอุณหภูมิกล้ายแก้วกับเปอร์เซ็นต์โนโลจิอีพอกไซด์ ดังแสดงในภาพประกอบที่ 34

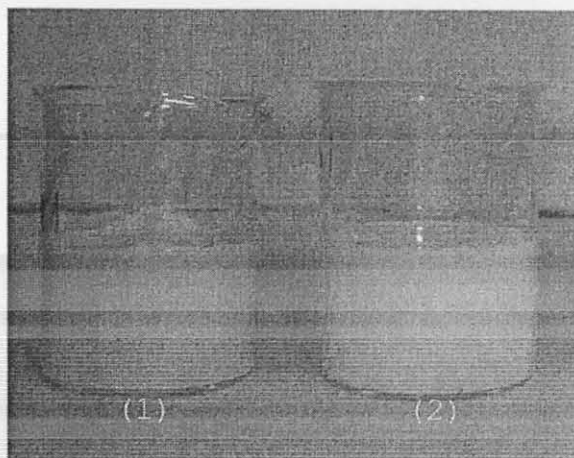


ภาพประกอบที่ 34 แสดงความสัมพันธ์ระหว่างค่าอุณหภูมิกล้ายแก้วกับเปอร์เซ็นต์โนโลจิอีพอกไซด์ของยางธรรมชาติอีพอกไซด์

จากภาพประกอบที่ 34 พนว่าค่าอุณหภูมิคล้ายแก้วของยางธรรมชาติอีพอกไซด์ มีค่าเพิ่มขึ้นตามปริมาณของหมู่อีพอกไซด์ที่มีบนโนเบกูลของยางธรรมชาติ โดยรายงานการวิจัยของ Baker และคณะ 1985 [12] พนว่าการเกิดหมู่อีพอกไซด์ที่เพิ่มขึ้นทุกๆ 1 เปอร์เซ็นต์โนเบกูลของยางธรรมชาติจะทำให้ค่าอุณหภูมิคล้ายแก้วเพิ่มขึ้นประมาณ 1 องศาเซลเซียส ซึ่งสอดคล้องกับผลการวิจัยของเจริญ นาคสารรค์ และคณะ 2544 [10] โดยยางธรรมชาติมีค่าอุณหภูมิคล้ายแก้วประมาณ -72 องศาเซลเซียส สำหรับที่ค่าอุณหภูมิคล้ายแก้วของยางธรรมชาติอีพอกไซด์มีค่าเพิ่มขึ้นตามปริมาณของหมู่อีพอกไซด์อาจเนื่องจากหมู่อีพอกไซด์มีสภาพเป็นขี้วัวและสามารถเกิดการดึงดูดระหว่างโนเบกูลได้ ทำให้โนเบกูลของยางธรรมชาติอีพอกไซด์เกิดการเลื่อนไหลดหรือเคลื่อนที่ผ่านโนเบกูลได้ยากขึ้น ส่งผลให้ความอ่อนตัวของโนเบกูลลดลงด้วย ทำให้ค่า  $T_g$  มีค่าสูงขึ้น แสดงให้เห็นว่าค่า  $T_g$  สามารถบ่งบอกถึงสภาพความเป็นขี้วัน โนเบกูลของยางธรรมชาติอีพอกไซด์ได้ ถ้า  $T_g$  มีค่าสูงแสดงว่ายางธรรมชาติอีพอกไซด์ที่ได้มีสภาพความเป็นขี้วสูง ซึ่งในงานวิจัยนี้ใช้น้ำยางธรรมชาติอีพอกไซด์ซึ่งมีเปอร์เซ็นต์โนเบกูลอีพอกไซด์ 44 เปอร์เซ็นต์โดยมีค่า  $T_g$  ประมาณ -30 องศาเซลเซียส

#### 4.2 การเตรียมสารเพิ่มการยึดติด

ແປງข้าวเหนียวเจลلاتีไนซ์ที่เตรียมได้มีสีขาวๆ ลักษณะเหนียวเหมือนแป้งเปียก ส่วนคิวามโрон อินดีน เรซินในรูปอิมลัชันนั้นมีสีน้ำตาลเข้ม เนื้อมีลักษณะเป็นเมมเบรนคริมแต่เหนียวหนืดมาก ดังแสดงในภาพประกอบที่ 35



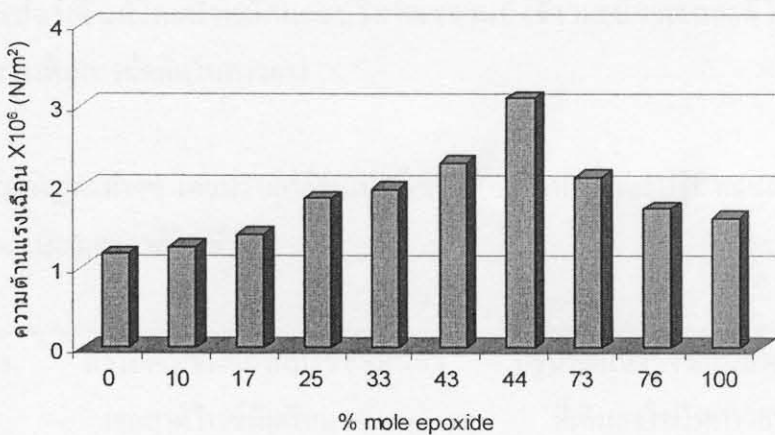
ภาพประกอบที่ 35 แสดงคิวามโрон อินดีน เรซินในรูปอิมลัชัน (1) ແປງຂ້າວເໜີວຈັລລາຕີໄນຊ (2)

#### 4.3 การเตรียมและผลการวิเคราะห์ความยางธรรมชาติอีพอกไซด์

การศึกษาเบื้องต้นเกี่ยวกับการเลือกเปอร์เซ็นต์โนโลห์อีพอกไซด์ของยางธรรมชาติอีพอกไซด์ที่เหมาะสมเพื่อใช้เป็นสารตั้งต้นสำหรับเตรียมความยางธรรมชาติอีพอกไซด์ และการศึกษาปริมาณของสารเพิ่มการขึ้นตัวที่มีผลต่อสมบัติของการยางธรรมชาติอีพอกไซด์ โดยใช้การวิเคราะห์สูตรพื้นฐานตามสูตรอ้างอิงการผลิตการยางจากน้ำยางเพื่อใช้ในงานทั่วไปของภาระณ์ บริษัท กูล แล้วก้า เศวตกนิษฐ์ [18]

##### 4.3.1 การเลือกเปอร์เซ็นต์โนโลห์อีพอกไซด์ของยางธรรมชาติอีพอกไซด์ที่เหมาะสมเพื่อใช้เป็นสารตั้งต้นสำหรับเตรียมความยางธรรมชาติอีพอกไซด์

โดยปรับเปลี่ยนเปอร์เซ็นต์โนโลห์อีพอกไซด์ของยางธรรมชาติอีพอกไซด์ในการเตรียมความยาง และทดสอบความแข็งแรงของรอยต่อของความด้วยเครื่องทดสอบสมบัติด้านการตึง (Universal testing machine) โดยการวัดค่าความต้านแรงเฉือนตามมาตรฐาน ASTM D2339



ภาพประกอบที่ 36 แสดงความสัมพันธ์ระหว่างเปอร์เซ็นต์โนโลห์อีพอกไซด์กับค่าความต้านแรงเฉือน

จากภาพประกอบที่ 36 แสดงความสัมพันธ์ระหว่างเปอร์เซ็นต์โนโลห์อีพอกไซด์ โดยพิจารณาจากผลการทดลองแบ่งเป็นช่วงระยะเวลาในการทำปฏิกิริยาอีพอกซิเดชันเป็นเวลา 1, 2, 3, 4, 5, 6, 7, 8 และ 9 ชั่วโมงตามลำดับเพื่อให้ได้มาต่อกันเป็น 10, 17, 25, 33, 43, 44, 73, 76 และ 100 เปอร์เซ็นต์ ตามลำดับกับค่าความต้านแรงเฉือน ในพบว่าในช่วงแรกค่าความต้านแรงเฉือนมีค่าเพิ่มขึ้นตามเปอร์เซ็นต์โนโลห์อีพอกไซด์จนถึงจุดหนึ่งที่เปอร์เซ็นต์โนโลห์อีพอกไซด์มีค่าเท่ากับ 44%

โนล็อกอิไซด์ ความด้านแรงเรื่องมีค่าสูงสุด หลังจากนั้นความด้านแรงเรื่องจะมีค่าลดลงเมื่อเปอร์เซ็นต์โนล็อกอิไซด์มีค่าเพิ่มขึ้น ทั้งนี้อาจเนื่องมาจากยางธรรมชาติอิพอกไชด์ที่มีเปอร์เซ็นต์โนล็อกอิไซด์สูงมีความเป็นขั้วนากจนเกินไปแทนที่จะเกิดการดึงดูดระหว่างโนล็อกของกาวกับไม้เท่านั้น แต่กลับเกิดการดึงดูดระหว่างโนล็อกของกาวกับเองด้วย ส่งผลให้ความสามารถในการยึดเกาะของกาวกับขึ้น ไม่ลดลง

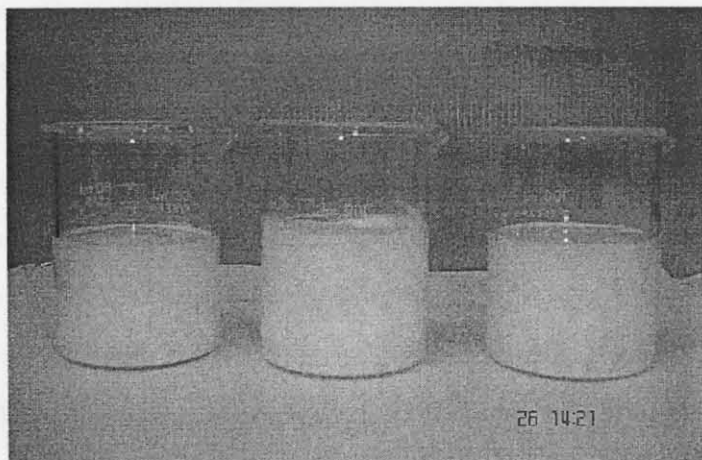
จากการทดสอบสรุปได้ว่าค่าเปอร์เซ็นต์โนล็อกไชด์ที่เหมาะสมสำหรับเตรียมการยางธรรมชาติอิพอกไชด์ คือ ประมาณ 44% โนล็อกอิไซด์ เพราะที่ปริมาณโนล็อกเปอร์เซ็นต์ที่สูงกว่านี้ไม่เหมาะสมที่จะนำมาใช้ในการออกแบบสูตรกาวเนื่องจากเนื้อกาวที่ได้จะมีลักษณะเป็นก้อนเนื่องจากมีปริมาณโนล็อกเปอร์เซ็นต์มากเกินไปจึงแสดงความเป็นขั้วนากเกินไปจึงทำให้มีการยึดเกาะกันของไส้ได้ช้าให้กาวด้านแรงเรื่องสูงสุด และหลังจากนี้จะใช้คำว่าการยางแทนการยางธรรมชาติอิพอกไชด์ 44% โนล็อกไชด์

#### 4.3.2 การยาง โดยมีสารเพิ่มการยึดติด คือ แป้งข้าวเหนียวเจลلاتติไนซ์

โดยปรับเปลี่ยนเปอร์เซ็นต์โดยน้ำหนักและปริมาณของแป้งข้าวเหนียวเจลلاتติไนซ์ เพื่อเลือกเปอร์เซ็นต์โดยน้ำหนักและปริมาณของแป้งข้าวเหนียวเจลلاتติไนซ์ที่เหมาะสมสำหรับใช้เป็นสารเพิ่มการยึดติดในการยาง

ตารางที่ 13 การยางสูตรค่างๆ โดยปรับเปลี่ยนเปอร์เซ็นต์โดยน้ำหนักและปริมาณของแป้ง-ข้าวเหนียวเจลلاتติไนซ์

สูตรการยาง	ความเข้มข้นของแป้งข้าวเหนียวเจลلاتติไนซ์ที่เตรียม % w/w	ปริมาณแป้งข้าวเหนียวเจลلاتติไนซ์ที่เติมลงไปในการยาง (กรัม)
a	5	50
b	10	40
c	10	50
d	10	60
e	15	50
f	15	60

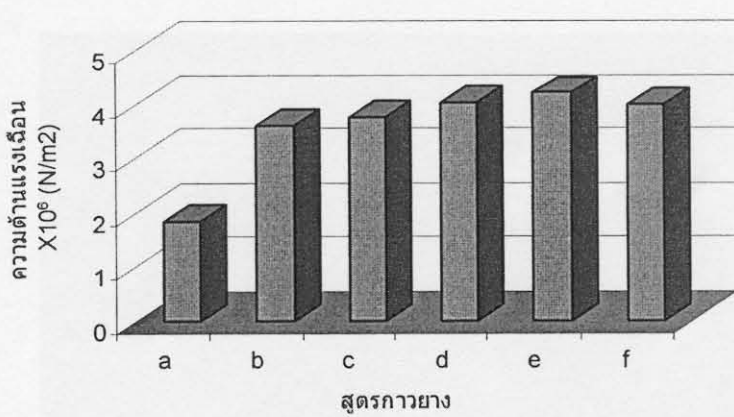


40 กرم

50 กرم

60 กرم

ภาพประกอบที่ 37 แสดงการยางสูตรพื้นฐานที่ใช้ 10% โดยนำหนักของแป้งข้าวเหนียวเจลลิตาติไนซ์ เป็นสารเพิ่มการยึดติดในปริมาณต่างๆ



ภาพประกอบที่ 38 แสดงความสัมพันธ์ระหว่างการยางสูตรต่างๆ กับค่าความต้านแรงเฉือน

ผลการทดสอบความต้านแรงเฉือนของการยางสูตรพื้นฐาน เมื่อปรับค่าปอร์เซ็นต์ โดยนำหนัก และปริมาณของแป้งข้าวเหนียวเจลลิตาติไนซ์ ได้ผลดังนี้ คือ

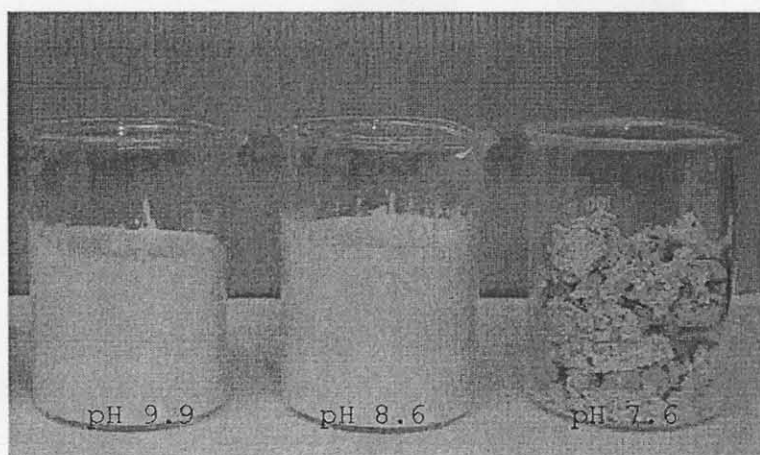
- การยางซึ่งผสมแป้งข้าวเหนียวเจลลิตาติไนซ์ในปริมาณที่เท่ากัน คือ 50 กรัม พบว่าการ e ที่ใช้แป้งข้าวเหนียวเจลลิตาติไนซ์ 15% โดยนำหนัก ให้ค่าความต้านแรงเฉือนสูงสุด

- การย่างที่ผสมแป้งข้าวเหนียวเจลلاتีไนซ์ 10% โดยน้ำหนัก ความด้านแรงเฉือนมีค่าเพิ่มขึ้นตามปริมาณสารเพิ่มการยึดติดที่ใช้ แต่การย่างที่ผสมแป้งข้าวเหนียวเจลلاتีไนซ์ 15% โดยน้ำหนัก ความด้านแรงเฉือนมีค่าลดลงเมื่อเพิ่มปริมาณสาร

จากผลการทดสอบสรุปได้ว่าควรเลือกใช้แป้งข้าวเหนียวเจลلاتีไนซ์ 10% โดยน้ำหนัก เนื่องจากความด้านแรงเฉือนมีค่าสูงและเพิ่มขึ้นตามปริมาณที่ใช้

#### 4.3.3 การย่าง โดยมีสารเพิ่มการยึดติด คือ คิวมาโรมิลชัน 22% โดยน้ำหนัก

จากการวิจัยของสุรษ สันติวงศ์สกิต (2543) พบว่าสารยึดติดที่นำมาใช้กับน้ำยาบ่มอยู่ในรูปอิมัลชัน และจำเป็นต้องมีการปรับความเป็นกรด-ด่างของน้ำยาบ่มและสารเพิ่มการยึดติด ก่อนด้วย 10% โดยน้ำหนักของโป๊ಡสเซี่ยมไฮครอกไซด์ เนื่องจากการผสมคิวมาโรมิลชันกับ ยาบ่มที่มีค่าความเป็นกรด-ด่างต่างกันมากอาจทำให้น้ำยาบ่มนี้ด่างเป็นก้อนและเสียสภาพได้ จึง ทำการศึกษาโดยปรับเปลี่ยนความเป็นกรด-ด่างต่างกัน 3 ค่าคือ 7.6, 8.6 และ 9.9 ซึ่งค่าดังกล่าวได้ มากจากการวัดน้ำยาบ่มธรรมชาติอิพอกไซด์ที่เตรียมได้ ดังแสดงในตารางที่ 14 และทำการทดสอบ ความด้านแรงเฉือนเป็นคุณสมบัติหลัก ได้ผลดังนี้



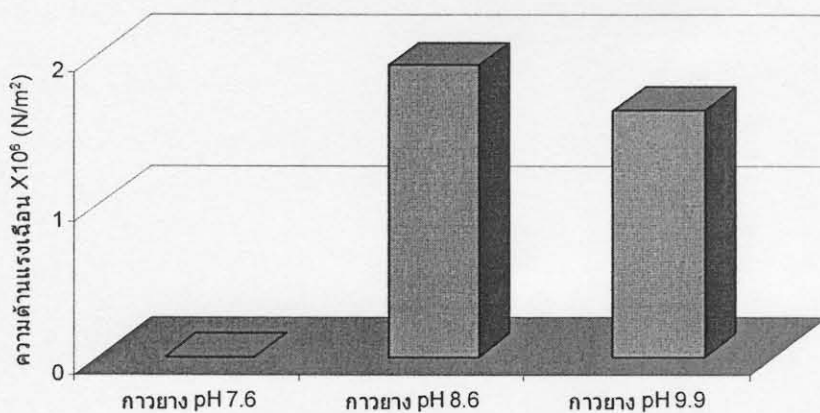
ภาพประกอบที่ 39 แสดงการย่างที่ค่าความเป็นกรด-ด่างๆ เมื่อใช้คิวมาโรมิลชัน 8 phr เป็น สารเพิ่มการยึดติด

จากภาพประกอบที่ 39 แสดงลักษณะของการย่างที่ผสมสารเพิ่มการยึดติดชนิด คิวมาโรมิลชัน และมีการปรับค่าความเป็นกรด-ด่างที่ 7.6, 8.6 และ 9.9 พบว่าการย่างที่มีความ เป็นกรด-ด่าง 7.6 มีลักษณะเป็นก้อน อาจเนื่องมาจากความแตกต่างของค่าความเป็นกรด-ด่าง

ระหว่างน้ำยาที่มีค่าความเป็นกรด-ด่าง 7.6 กับคิวามโนรอนอิมัลชันเมื่อทำการวัดพบว่ามีค่าความเป็นกรด-ด่าง 8.5 ทำให้การยางเกิดการเสียสภาพจับตัวเป็นก้อน แต่การยางที่มีค่าความเป็นกรด-ด่าง 8.6 และ 9.9 ยังคงสภาพเป็นของเหลวหนืดเหมือนเดิม

ตารางที่ 14 แสดงผลของความด้านแรงเฉือนในการยางสูตรต่างๆ เมื่อใช้คิวามโนรอนอิมัลชัน 8 phr เป็นสารเพิ่มการยึดติด โดยปรับเปลี่ยนค่าความเป็นกรด-ด่างในสูตรการพื้นฐาน

สูตรการ	ความเป็นกรด-ด่าง(pH)	ความด้านแรงเฉือน ( $N/m^2$ )
g	7.6	ไม่สามารถวัดได้เนื่องจากภาวะจับตัวเป็นก้อน
h	8.6	$1.9 \times 10^6$
i	9.9	$1.6 \times 10^6$



ภาพประกอบที่ 40 กราฟแสดงผลของความเป็นกรด-ด่างต่อความด้านแรงเฉือน

ภาพประกอบที่ 40 แสดงผลของความเป็นกรด-ด่างต่อความด้านแรงเฉือน พบร่วมกับความด้านแรงเฉือนของชิ้นทดสอบมีแนวโน้มลดลง เมื่อค่าความเป็นกรด-ด่างของภาวะยางที่ใช้ คิวามโนรอนอิมัลชันเป็นสารเพิ่มการยึดติดมีค่าเพิ่มขึ้น ทั้งนี้อาจเนื่องมาจากการยางที่มีค่าความเป็นกรด-ด่าง 8.6 มีค่าใกล้เคียงกับค่าความเป็นกรด-ด่างของคิวามโนรอนอิมัลชันที่มีค่าความเป็นกรด-ด่าง 8.5 ทำให้การยางกับคิวามโนรอนอิมัลชันสามารถผสมเข้ากันได้ดี การยางจึงสามารถยึดเกาะกับเนื้อไม้ได้ดีกว่าการยางที่มีค่าความเป็นกรด-ด่างสูงกว่า จึงส่งผลให้การยางที่มีค่าความเป็นกรด-ด่าง 8.6 มีค่าความด้านแรงเฉือนสูงที่สุด

จากผลการทดสอบจึงเลือกใช้กาวยางพสมคิวมาโนนอินลัชันที่มีค่าความเป็นกรดค้างประปานญ 8.6 เป็นสารเพิ่มการยึดติดในการผลิตกาวยาง เมื่อได้สัดส่วนของสารเพิ่มการยึดติดที่เหมาะสม ได้มีการปรับปรุงกาวยางสูตรพื้นฐานโดยใช้ชื่อว่ากาวยางสูตรปรับปรุง โดยมีการเติม Carboxy methyl cellulose (CMC) 5% โดยน้ำหนัก เพื่อเพิ่มความหนืดของกาว, Potassium oleate 10 % โดยน้ำหนัก เพื่อเพิ่มความสตีรและ Salicylic acid 15 % โดยน้ำหนัก สำหรับการป้องกันเชื้อราก และได้มีการนำแป้งข้าวเหนียวเจลลาร์ดในซี 10% โดยน้ำหนัก มาผสมกับคิวมาโนนอินลัชัน 22% โดยน้ำหนัก ในสัดส่วนต่างๆ ที่ 7 และ 8 phr แสดงดังตารางที่ 15 เพื่อใช้เป็นสารเพิ่มการยึดติดอีกชนิดหนึ่ง โดยปริมาณที่เลือกใช้นี้ได้มาจากผลการทดสอบความด้านแรงเฉือนของกาวยาง ซึ่งพบว่า กาวยางที่ผสมแป้งข้าวเหนียวเจลลาร์ดในซี 10% โดยน้ำหนัก มีค่าความด้านแรงเฉือนสูงสุดเมื่อใช้ที่ปริมาณ 7 phr และกาวยางที่ผสมคิวมาโนนอินลัชัน 22% โดยน้ำหนัก มีค่าความด้านแรงเฉือนสูงสุดเมื่อใช้ที่ปริมาณ 8 phr

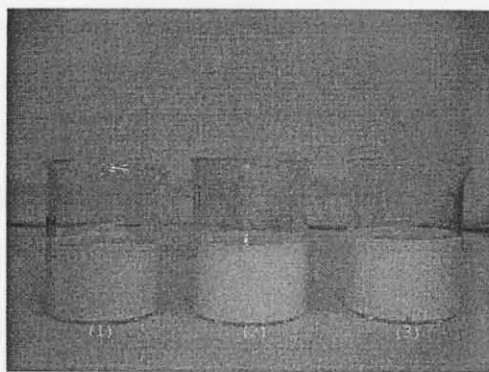
ตารางที่ 15 แสดงการวิเคราะห์ปรับปรุงโดยปรับเปลี่ยนชนิด และปริมาณของสารเพิ่มการยึดติด<sup>(แสดงในรูปน้ำหนักเปียก (กรัม) และน้ำหนักแห้ง (phr))</sup>

สูตรกราว	สารเพิ่มการยึดติด	ปริมาณ,กรัม (น้ำหนักเปียก)	ปริมาณ phr (น้ำหนักแห้ง)
j	แป้งข้าวเหนียวเจลلاتีไนซ์ 10%	60	6
k	แป้งข้าวเหนียวเจลلاتีไนซ์ 10%	70	7
l	แป้งข้าวเหนียวเจลلاتีไนซ์ 10%	80	8
m	คิวามะโนอิมัลชัน 22%	27.3	6
n	คิวามะโนอิมัลชัน 22%	31.8	7
o	คิวามะโนอิมัลชัน 22%	36.4	8
p	แป้งข้าวเหนียวเจลلاتีไนซ์ 10% : คิวามะโนอิมัลชัน 22%	17.5 : 23.89	1.75 : 5.25
q	แป้งข้าวเหนียวเจลلاتีไนซ์ 10% : คิวามะโนอิมัลชัน 22%	35 : 15.93	3.5 : 3.5
r	แป้งข้าวเหนียวเจลلاتีไนซ์ 10% : คิวามะโนอิมัลชัน 22%	52.5 : 7.96	5.25 : 1.75
s	แป้งข้าวเหนียวเจลلاتีไนซ์ 10% : คิวามะโนอิมัลชัน 22%	20 : 27.3	2 : 6
t	แป้งข้าวเหนียวเจลلاتีไนซ์ 10% : คิวามะโนอิมัลชัน 22 %	40 : 18.2	4 : 4
u	แป้งข้าวเหนียวเจลلاتีไนซ์ 10 % : คิวามะโนอิมัลชัน 22%	60 : 9.1	6 : 2
v	TOA (กาวโพลีไวนิลอะซีเทอิมัลชัน)	-	-
w*	Urea Formaldehyde (UF)	-	-

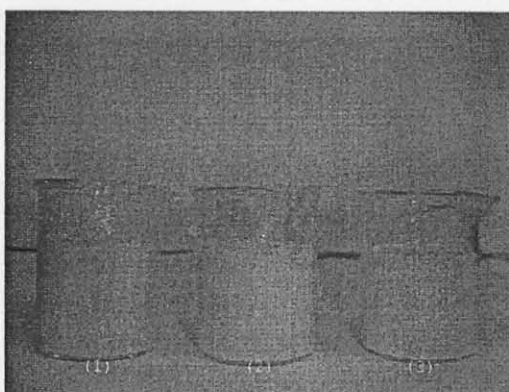
หมายเหตุ\* - การสังเคราะห์ที่ใช้ในโรงงานได้รับความอนุเคราะห์จากโรงงาน APS WOODS

PRODUCTS ถนนกาญจนวนิชษ์ ตำบลพะคง อำเภอหาดใหญ่ จังหวัดสงขลา 90230

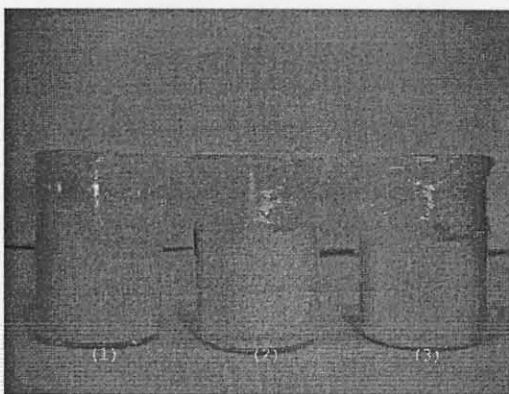
- % กม % โดยน้ำหนัก



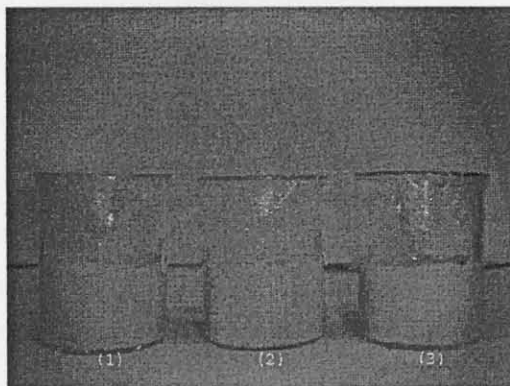
A : (1) กาวยางที่ไม่ได้ใส่สารเพิ่มการยึดติด (2) กาว TOA (3) กาว UF



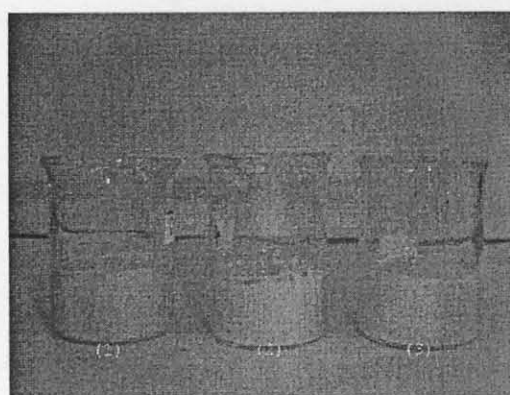
B : กาวยางที่ผสมแป้งข้าวเหนียวเจลลาราตีไนซ์ 10% โดยหนัก ปริมาณต่างๆ : (1) 6 phr (2) 7 phr (3) 8 phr



C : กาวยางที่ผสมคิวามารอนอินลัชันปริมาณต่างๆ : (1) 6 phr (2) 7 phr (3) 8 phr



D : การยางที่ผสมแป้งข้าวเหนียวเจลลาตีไนซ์ 10% โดยน้ำหนัก : คิวมาโนนอิมัลชัน 22% โดยน้ำหนัก ปริมาณ 7 phr ที่อัตราส่วนต่างๆ : (1) 5.25 : 1.75 phr (2) 3.5 : 3.5 phr (3) 1.75 : 5.25 phr



E : การยางที่ผสมแป้งข้าวเหนียวเจลลาตีไนซ์ 10% โดยน้ำหนัก : คิวมาโนนอิมัลชัน 22% โดยน้ำหนัก ปริมาณ 8 phr ที่อัตราส่วนต่างๆ : (1) 6 : 2 phr (2) 4 : 4 phr (3) 1.75 : 5.25 phr

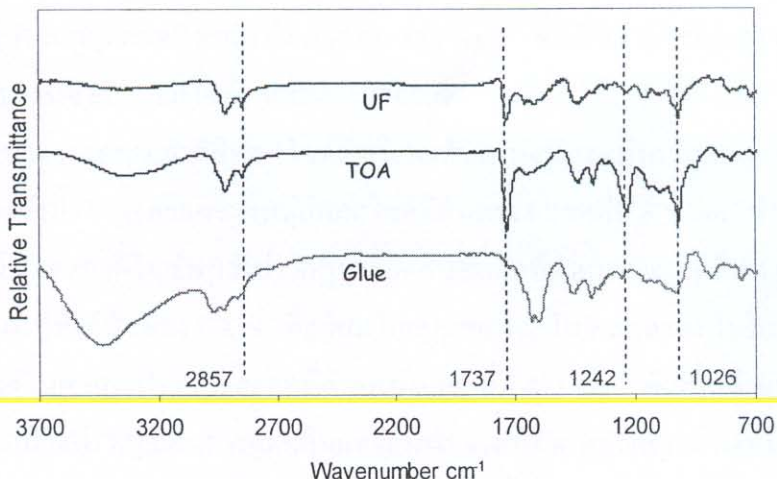
ภาพประกอบที่ 41 แสดงการยางโดยมีสารเพิ่มการยึดติด คือ แป้งข้าวเหนียวเจลลาตีไนซ์ 10% โดยน้ำหนัก : คิวมาโนนอิมัลชัน 22% โดยน้ำหนัก ที่ปริมาณต่างๆ

การยางที่เตรียมได้แสดงดังภาพประกอบที่ 41 พบว่าการยางทุกสูตรมีสีครีมแกนน้ำตาลเมื่อเทียบกับการ TOA และการยูเรีย-ฟอร์มัลดีไฮด์ (Urea Formaldehyde, UF) ที่มีสีขาวขุ่น การยางที่ได้จะมีสีเปลี่ยนไปตามชนิดและปริมาณของสารเพิ่มการยึดติด (Tackifier) โดยการยางที่ใช้คิวมาโนนอิมัลชันเป็นสารเพิ่มการยึดติดมีสีเข้มกว่าการยางที่ใช้แป้งข้าวเหนียวเจลลาตีไนซ์ และ

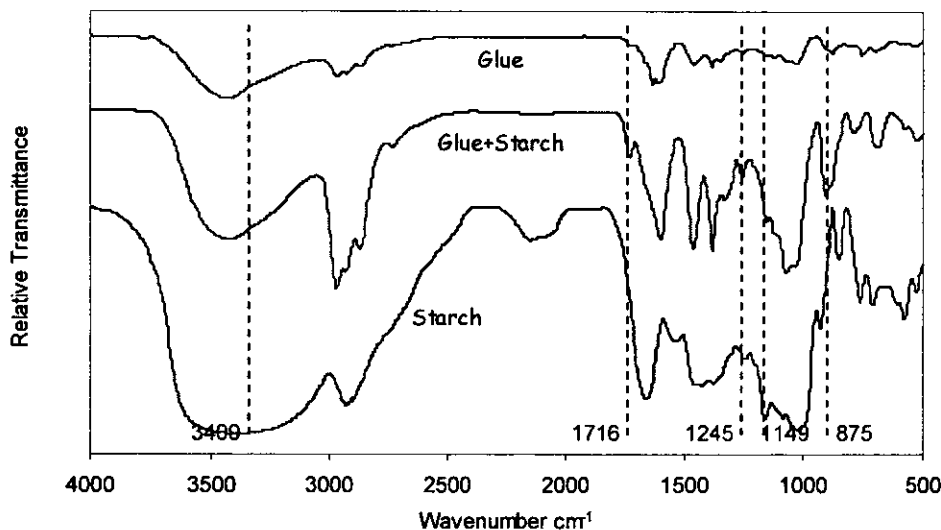
เมื่อใช้ปริมาณคิวามะโนนอินลัชันมากขึ้นกว่ายางที่ได้ก็จะมีสีเข้มขึ้นจากสีครีมเป็นสีน้ำตาล กวายางที่เตรียมได้เนื้อกวายมีลักษณะเหมือนครีมข้นหนืดซึ่งค่าความหนืดแสดงในส่วนของภาคผนวก แต่ไม่หนีบเทียบกับการ TOA และการ UF

#### 4.3.4 สเปกตรัมอินฟราเรดของการ UF การ TOA และกวายาง

การวิเคราะห์ FTIR ของกวายางทุกชนิดเป็นการวิเคราะห์กวายางก่อนติดไม้โดยใช้วิธีเตรียมตัวอย่างเช่นเดียวกับการวิเคราะห์ปริมาณหมู่อีพอกไซด์ (3.3.2.1) ผลปรากฏดังภาพประกอบที่ 42 พบว่าสเปกตรัมอินฟราเรดของกวยเรีย-ฟอร์มัลดีไไฮด์ ปราကฎจุดยอดที่ตำแหน่งเลขคู่ 2857  $\text{cm}^{-1}$  ซึ่งเป็นหมู่ฟังก์ชันของ C-H ที่ตำแหน่งเลขคู่ 1737  $\text{cm}^{-1}$  ปราကฎจุดยอดของหมู่ฟังก์ชันของ C=O และปราကฎจุดยอดของหมู่ฟังก์ชันของ C-N ในโครงสร้างของกวยเรีย-ฟอร์มัลดีไไฮด์ ซึ่งแสดงให้เห็นว่ามีการเชื่อมโยงพันธะกันระหว่างโมเลกุลของ ญี่รีกับฟอร์มัลดีไไฮด์ สำหรับการ TOA ซึ่งผลิตมาจากการโพลีไวนิลอะซิเตตอิมัลชันจัดเป็นสารพากເອສເທອຣີຈິງພບหมู่ฟังก์ชันของ C=O ปราကฎจุดยอดที่ตำแหน่งเลขคู่ 1737  $\text{cm}^{-1}$  และหมู่ฟังก์ชันของ C-O ปราကฎจุดยอดที่ตำแหน่งเลขคู่ 1242  $\text{cm}^{-1}$  และ 1026  $\text{cm}^{-1}$  ซึ่งหมู่ฟังก์ชันเหล่านี้ไม่ปราကฎในกวายางที่ไม่ผ่านสารเพิ่มการยึดติด

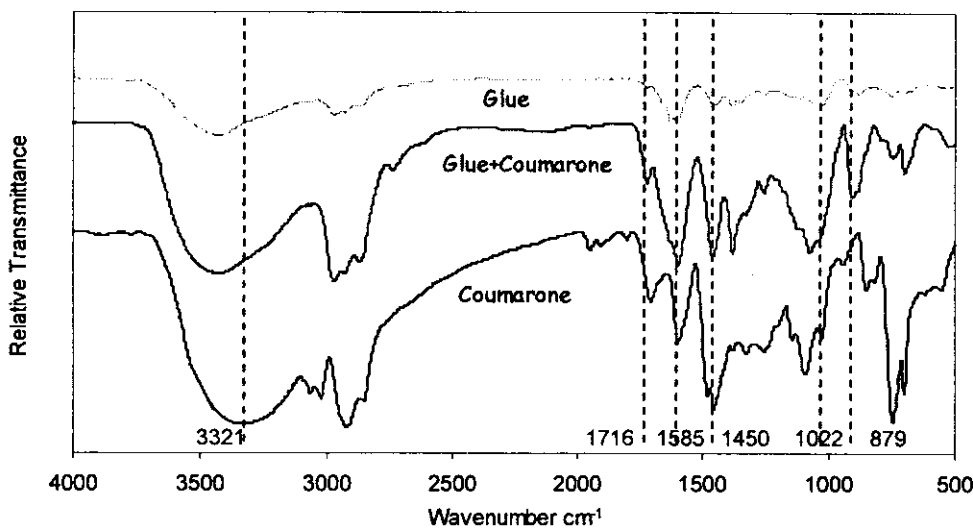


ภาพประกอบที่ 42 กราฟแสดงสเปกตรัมอินฟราเรดของการ UF การ TOA และกวายาง



ภาพประกอบที่ 43 กราฟแสดงสเปกตรัมอินฟราเรดของแป้งข้าวเหนียวเจลลาร์ตีไนซ์ กาวยางและ กาวยางที่ผสมแป้งข้าวเหนียวเจลลาร์ตีไนซ์ 8 phr

จากภาพประกอบที่ 43 ปรากฏชุดยอดที่ตำแหน่งเลขค่า 3409 cm<sup>-1</sup> ซึ่งเป็นหมู่ พิงก์ชันของ O-H และจุดยอดที่ตำแหน่งเลขค่า 1149 cm<sup>-1</sup> และ 1245 cm<sup>-1</sup> ซึ่งเป็นหมู่พิงก์ชัน ของ C-O-C ที่อยู่บนโมเลกุลของอะไรมากและอะไรมากเพกตินในแป้งข้าวเหนียวเจลลาร์ตีไนซ์ และ กาวยางพบว่าไม่ปรากฏชุดยอดที่ตำแหน่งเลขค่า 834 cm<sup>-1</sup> ซึ่งเป็นตำแหน่งของ C=C ที่อยู่บน โมเลกุลของยางธรรมชาติอีพอกไซด์ แสดงว่าไม่เกิดการเชื่อมโยง (Cross-link) ด้วยคำแนะนำ ระหว่างโมเลกุลของยางธรรมชาติอีพอกไซด์ที่บริเวณตำแหน่งพันธะคู่บนโมเลกุลของยางธรรมชาติอีพอกไซด์ แต่ยังปรากฏชุดยอดของหมู่อีพอกไซด์ที่ตำแหน่งเลขค่า 875 cm<sup>-1</sup> สำหรับกาวยางที่ ผสมแป้งข้าวเหนียวเจลลาร์ตีไนซ์พบว่าปรากฏชุดยอดขนาดเล็กที่ตำแหน่งเลขค่า 1149 cm<sup>-1</sup> และ 1245 cm<sup>-1</sup> ซึ่งเป็นหมู่พิงก์ชันของ C-O-C ที่อยู่บนโมเลกุลของอะไรมากและอะไรมากเพกตินในแป้ง ข้าวเหนียวเจลลาร์ตีไนซ์ และปรากฏชุดยอดที่ตำแหน่งเลขค่า 875 cm<sup>-1</sup> ซึ่งเป็นตำแหน่งของหมู่อีพอกไซด์ นอกจากนี้ยังปรากฏเดบการดูดกลืนแสงอินฟราเรดที่ตำแหน่งเลขค่าใหม่เพิ่มขึ้นมาจากการ สเปกตรัมอินฟราเรดของกาวยางที่ไม่ได้ผสมสารเพิ่มการยึดติดที่ตำแหน่งเลขค่า 1716 cm<sup>-1</sup> คือหมู่ พิงก์ชันของ C=O ซึ่งสามารถตอบได้ในโมเลกุลของการ TOA และกาว UF เช่นเดียวกัน แสดงว่าที่ ตำแหน่งของหมู่ C=O นี้อาจจะเกิดพันธะทางเคมีระหว่างกาวกับไม้ จึงทำให้กาวยางที่ผสมแป้งข้าว เหนียวเจลลาร์ตีไนซ์มีความสามารถในการยึดติดเพิ่มมากขึ้นเมื่อเปรียบเทียบกับกาวยางที่ไม่ผสมสาร เพิ่มการยึดติด

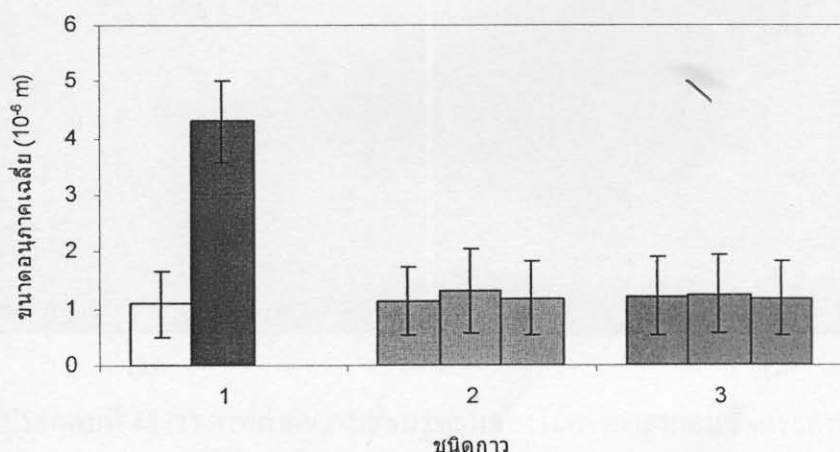


ภาพประกอนที่ 44 กราฟแสดงスペคตรัมอินฟราเรดของคิวามโนรอนอิมลชัน การยางและการช่างที่  
ผสมคิวามโนรอนอิมลชัน 8 phr

จากภาพประกอนที่ 44 สเปคตรัมอินฟราเรดของคิวามโนรอนอิมลชันแสดงหมู่ฟังก์ชันของ O-H ที่อยู่บนโมเลกุลของพอลีไวนิลแอลกอฮอล์ (Polyvinyl alcohol, PVA) ปรากฏจุดยอดที่ตำแหน่งเลขค่า 3321  $\text{cm}^{-1}$  และปรากฏจุดยอดที่ตำแหน่งเลขค่า 1450  $\text{cm}^{-1}$  และ 1585  $\text{cm}^{-1}$  แสดงว่ามีวงแหวนเบนซินเป็นองค์ประกอบของคิวามโนรอนเรซิน นอกจากนี้ยังปรากฏจุดยอดที่ตำแหน่งเลขค่า 1022  $\text{cm}^{-1}$  ซึ่งเป็นหมู่ฟังก์ชันของ C-O ที่อยู่ในวงแหวนของคิวามโนรอน เรซิน สำหรับการยางที่ผสมคิวามโนรอนอิมลชันพบว่าปรากฏจุดยอดที่ตำแหน่งเลขค่า 879  $\text{cm}^{-1}$  ซึ่งเป็นตำแหน่งของหมู่อิพอกไซด์ และปรากฏแทนการคุณค่าแสงอินฟราเรดเพิ่มขึ้นมาจากการสเปคตรัมอินฟราเรดของการยางที่ไม่ได้ผสมสารเพิ่มการยึดติดที่ตำแหน่งเลขค่า 1716  $\text{cm}^{-1}$  ซึ่งเป็นหมู่ฟังก์ชันของ C=O ซึ่งสามารถพบได้ในโมเลกุลของการ TOA และการ UF เช่นเดียวกัน แสดงว่าที่ตำแหน่งของหมู่ C=O นี้อาจจะเกิดพันธะทางเคมีระหว่างกากับไม้ จึงทำให้การยางที่ผสมคิวามโนรอน อิมลชันมีความสามารถในการยึดติดเพิ่มมากขึ้นเมื่อเปรียบเทียบกับการยางที่ไม่ผสมสารเพิ่มการยึดติด นอกจากนี้ยังปรากฏจุดยอดขนาดใหญ่ที่ตำแหน่งเลขค่า 1450  $\text{cm}^{-1}$  และ 1585  $\text{cm}^{-1}$  ซึ่งเป็นตำแหน่งของวงแหวนเบนซินบนโมเลกุลของคิวามโนรอนเรซิน หมู่ฟังก์ค่างๆ ที่ปรากฏเพิ่มในการยางที่ผสมคิวามโนรอนอิมลชันแสดงให้เห็นว่ามีการผสมกันระหว่างการยางกับคิวามโนรอนอิมลชันบนโมเลกุลของการยาง

#### 4.3.5 ขนาดอนุภาคของกาว UF และการยาง

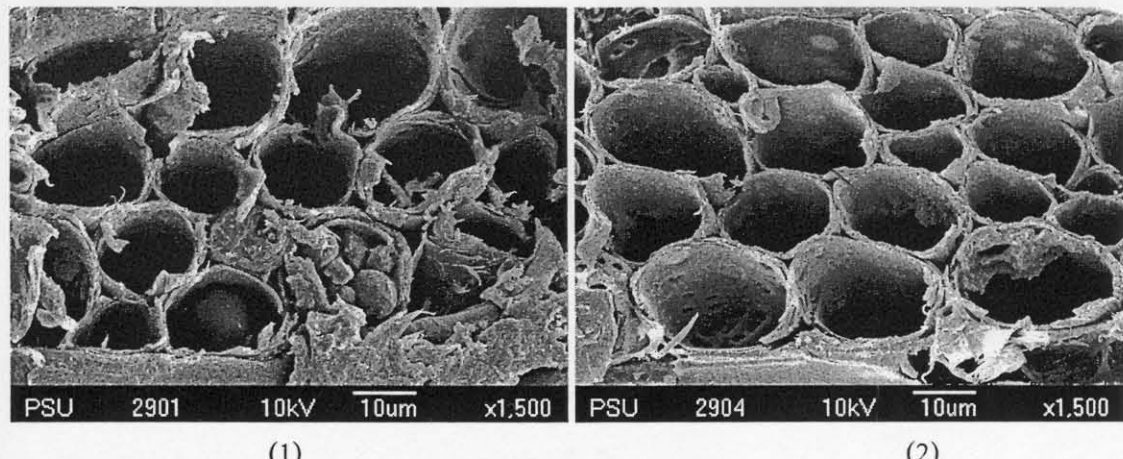
เมื่อนำการน้ำยาางธรรมชาติอิพอกไซด์ที่ผสมสารเพิ่มการยึดติดคือความโนรอนอิมลัชันและแป้งข้าวเหนียวเจลلاتีไนซ์ วิเคราะห์ขนาดอนุภาคด้วยลำแสงเลเซอร์ (Laser Particle Scanning Analyzer) พบว่าการยาง และการยางที่ผสมสารเพิ่มการยึดติดที่เตรียมได้ทุกชนิดมีขนาดอนุภาคเฉลี่ยใกล้เคียงกันประมาณ 1.1 ไมโครเมตร และมีค่าเบี่ยงเบนมาตรฐาน (Standard deviation, SD) อยู่ในช่วง 0.5-0.7 โดยขนาดอนุภาคใหญ่สุดที่วัดได้มีขนาด 5.8 ไมโครเมตร การเพิ่มปริมาณของสารเพิ่มการยึดติดทั้งความโนรอนอิมลัชันและแป้งข้าวเหนียวเจลلاتีไนซ์ จาก 6 phr - 8phr ไม่มีผลกระทบต่อการเพิ่มขนาดของอนุภาคในการยางอย่างมีนัยสำคัญ ดังแสดงในภาพประกอบที่ 45



ภาพประกอบที่ 45 แสดงขนาดอนุภาคเฉลี่ยของการยางชนิดต่างๆ

1. การยาง, กาว UF
2. การยางผสมความโนรอนอิมลัชัน 6 phr, 7 phr, 8 phr
3. การยางผสมแป้งข้าวเหนียวเจลلاتีไนซ์ 6 phr, 7 phr, 8 phr

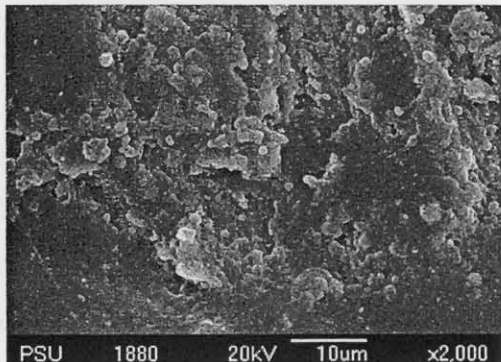
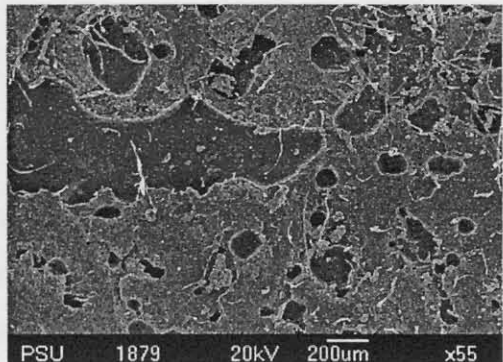
ขนาดอนุภาคเคลือบของกาวยาง และกาวยางที่ผสมสารเพิ่มการยึดติดมีขนาดเล็กกว่าขนาดอนุภาคเคลือบของกาวญี่เรียฟอร์มอลดีไซด์ที่ใช้ในอุตสาหกรรมเฟอร์นิเจอร์ไม้ย่างพาราซึ่งมีขนาดอนุภาคเคลือบประมาณ 4.3 ไมโครเมตร และพบว่าซองมีขนาดเล็กกว่าขนาดเส้นผ่าศูนย์กลางของรูพรุนของไม้ย่างพาราอีกด้วย จากภาพถ่ายพื้นผิวของไม้ย่างพาราที่ผ่านการทดสอบด้วยกล้องจุลทรรศน์อิเล็กตรอนแบบส่องกล้อง (Scanning Electron Microscope) แสดงดังภาพประกอบที่ 46 สามารถประมาณขนาดรูพรุนเคลือบของไม้ย่างพาราได้พบว่ามีค่าประมาณ 20 ไมโครเมตร ดังนั้นจากข้อมูลข้างต้นพบว่าอนุภาคของกาวยางที่เตรียมได้ทุกชนิดมีขนาดเล็กกว่าเส้นผ่าศูนย์กลางของรูพรุนของไม้ย่างพารา ดังนั้นขนาดอนุภาคกาวยางไม่เป็นอุปสรรคในการผ่านรูพรุนของไม้ย่างพารา



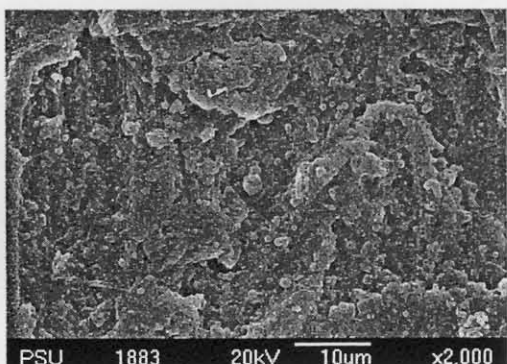
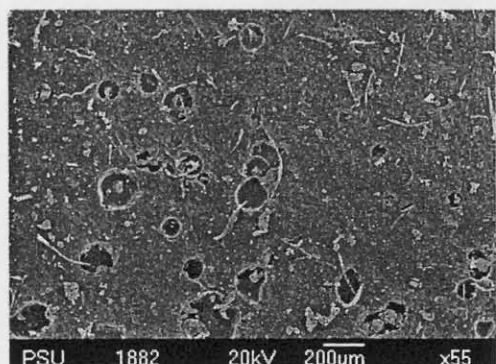
ภาพประกอบที่ 46 (1) ภาพถ่ายของรูพรุนของไม้ย่างพาราก่อนขัดกระดาษทราย  
 (2) ภาพถ่ายของรูพรุนของไม้ย่างพาราหลังขัดกระดาษทราย

#### 4.3.6 ลักษณะพื้นผิวของกาวยางแห้งโดยใช้ Scanning Electron Microscope (SEM)

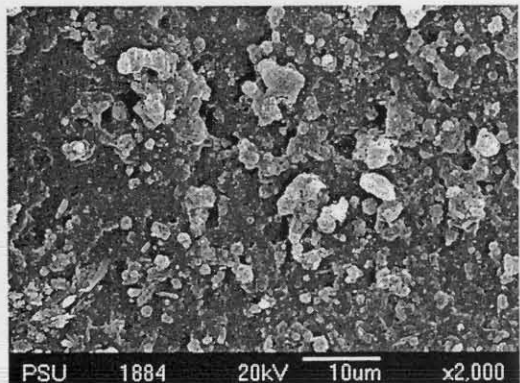
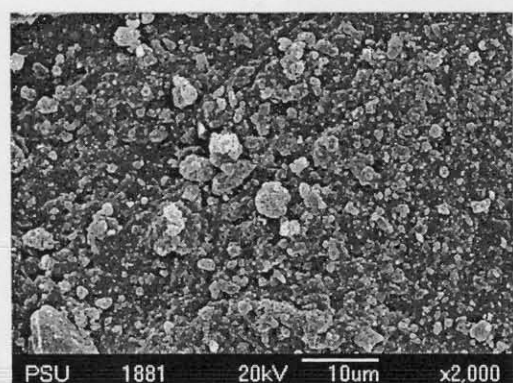
Scanning Electron Microscope เป็นเทคนิคการศึกษาลักษณะพื้นผิวของสาร จากการทดสอบที่ 47 แสดงลักษณะพื้นผิวของกาวยางผสมคิวมาโนนอิมลชัน 8 phr และกาวยางผสมแป้งข้าวเหนียวเจลลิตในอัตรา 8 phr สังเกตได้ว่าพื้นผิวของกาวยางผสมคิวมาโนนอิมลชัน 8 phr มีลักษณะขรุขระ ประกอบด้วยอนุภาคขนาดเล็กจำนวนมาก คล้ายการรวมตัวของอนุภาคในการในทางตรงข้ามพื้นผิวของกาวยางผสมแป้งข้าวเหนียวเจลลิตในอัตรา 8 phr มีลักษณะเรียบเป็นแผ่นพับอนุภาคขนาดเล็กมาก



การยางผสมคิวมาโนนอิมลชัน 8 phr กำลังขยาย 55 (ซ้าย) และ 2000 (ขวา) (แผ่นบาง) ตามลำดับ



การยางผสมเป็นข้าวเหนียวเจลลาตีไนซ์ 8 phr กำลังขยาย 55 (ซ้าย) และ 2000 (ขวา) (แผ่นบาง)  
ตามลำดับ

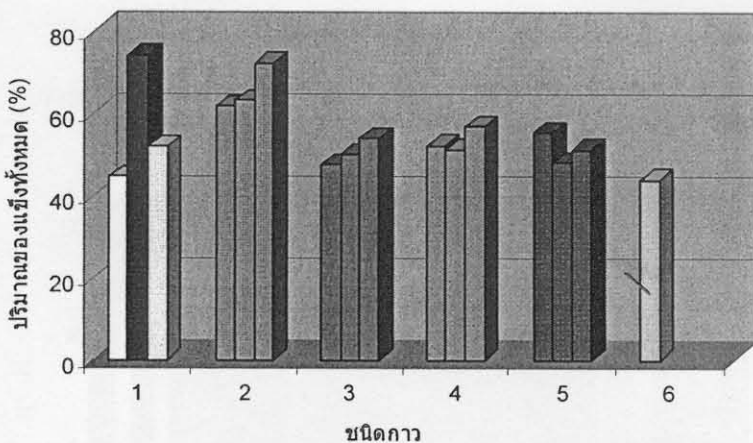


การยางผสมคิวมาโนนอิมลชัน (ซ้าย) และ การยางผสมเป็นข้าวเหนียวเจลลาตีไนซ์ (ขวา) 8 phr  
กำลังขยาย 2000 (แผ่นหนา) ตามลำดับ

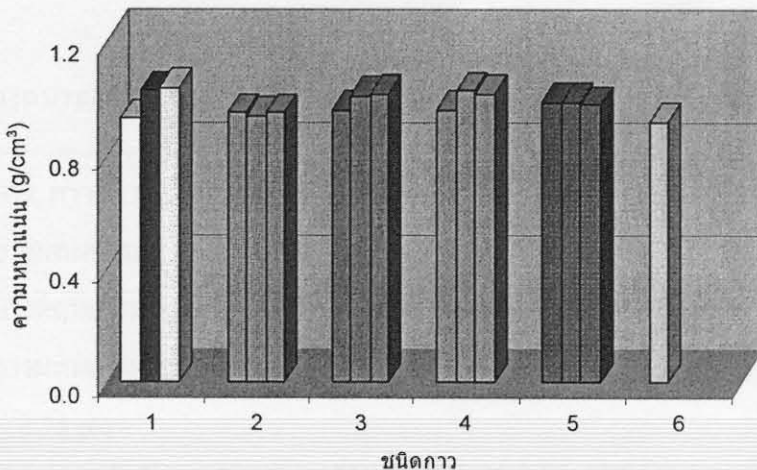
ภาพประกอบที่ 47 ภาพถ่าย SEM แสดงลักษณะพื้นผิวของ การยางผสมคิวมาโนนอิมลชัน 8 phr  
และการยางผสมเป็นข้าวเหนียวเจลลาตีไนซ์ 8 phr ณ กำลังขยายต่างๆ

#### 4.4 การทดสอบคุณสมบัติของการยาง

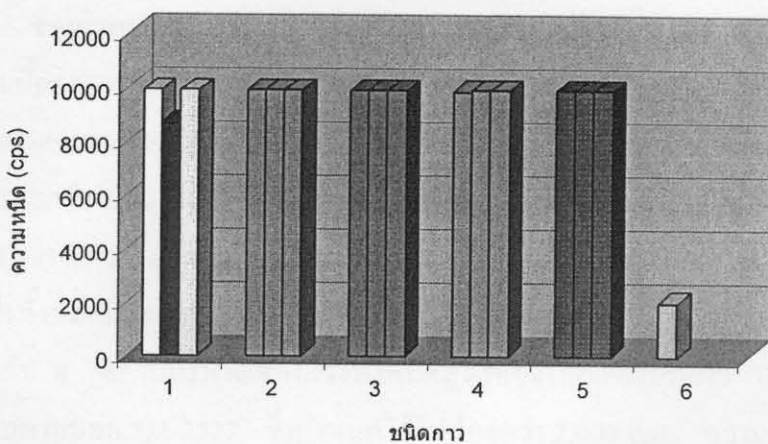
จากการยางที่เตรียมได้นำมาทดสอบคุณสมบัติของการยางตามมาตรฐานอุตสาหกรรมการยาง (มอก. 521-2527) ได้แก่ การหาปริมาณของแข็งทั้งหมด (เนื้อขาว) ความหนืด ความหนาแน่น และมาตรฐานอุตสาหกรรมการพอลีไวนิลอะซิเทตอิมัลชัน (มอก. 181-2530) ได้แก่ การทดสอบความเป็นกรด-ด่าง ซึ่งผลที่ได้จากการทดสอบแสดงดังภาพประกอบที่ 48-51 ตามลำดับ



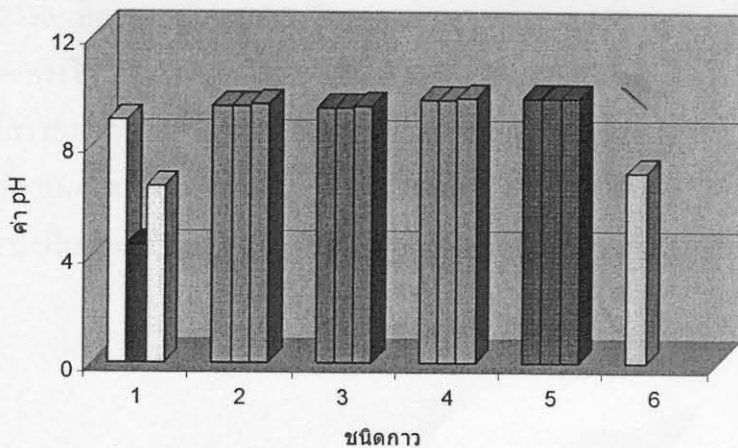
ภาพประกอบที่ 48 กราฟแสดงผลของชนิดการต่อปริมาณเนื้อขาว



ภาพประกอบที่ 49 กราฟแสดงผลของชนิดการต่อความหนาแน่น



ภาพประกอบที่ 50 กราฟแสดงผลของชนิดกาวต่อความหนืด



ภาพประกอบที่ 51 กราฟแสดงผลของชนิดกาวต่อความเป็นกรด-ด่าง

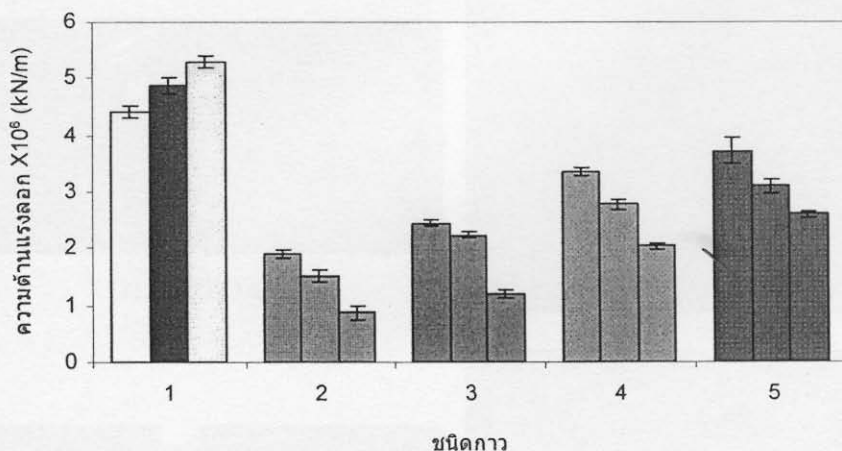
1. กาวยาง, กาว TOA, กาว UF
2. กาวยางผสมคิวมาโน่นอิมัลชัน 6 phr, 7 phr, 8 phr
3. กาวยางผสมแป้งข้าวเหนียวเจลลาตีไนซ์ 6 phr, 7 phr, 8 phr
4. กาวยางผสมแป้งข้าวเหนียวเจลลาตีไนซ์ : คิวมาโน่นอิมัลชัน 1.75 : 5.25, 3.5 : 3.5, 5.25 : 1.75 phr
5. กาวยางผสมแป้งข้าวเหนียวเจลลาตีไนซ์ : คิวมาโน่นอิมัลชัน 2 : 6, 4 : 4, 6 : 2 phr
6. กาวยางตามมอก. 521-2527 (ใช้อ้างอิงการทดสอบปริมาณเนื้อ กาว ความหนาแน่น และความหนืด) และมอก. 181-2530 (ใช้อ้างอิงการทดสอบความเป็นกรด-ด่าง)

หมายเหตุ - กาวยางแต่ละชุดเรียงลำดับข้อมูลจากซ้ายไปขวา

จากภาพประกอบที่ 48-51 แสดงผลการทดสอบความเหลวหรือความก่ออ่อนที่จะแข็งตัวโดยทดสอบเนื้อการพนว่าปริมาณเนื้อการหรือเปอร์เซ็นต์ปริมาณของแข็งทั้งหมด (% TSC) และความหนาแน่นผ่านตามเกณฑ์มาตรฐานอุตสาหกรรมกาวยางที่ใช้กับงานทั่วไป (มอก.521-2527) ซึ่งกำหนดไว้ไม่น้อยกว่า 15% และไม่น้อยกว่า 0.9 กรัมต่อสูบากศักดิ์เซ็นติเมตร ตามลำดับ เมื่อเปรียบเทียบระหว่างกาวยางที่ไม่ผ่านสารเพิ่มการยึดติดกับกาวยางที่ผ่านสารเพิ่มการยึดติด พนว่าปริมาณของแข็งทั้งหมดและความหนาแน่นเพิ่มขึ้นตามปริมาณสารเพิ่มการยึดติด และกาวยางที่ผ่านคุณภาพอนิลัชัน 8 phr มีปริมาณของแข็งทั้งหมดสูงสุดซึ่งใกล้เคียงกับกาว TOA ความหนืดของกาวยางผ่านตามมอก.521-2527 ซึ่งกำหนดไว้ไม่น้อยกว่า 2,000 cps ความเป็นกรด-ค่างของกาว TOA และกาว UF ผ่านตามเกณฑ์มาตรฐานอุตสาหกรรมกาวโพลีไวนิลอะซิเทตอิมัลลัชันสำหรับไม้ (ตามมอก.181-2530) ซึ่งระบุค่าที่ 4-7 แต่กาวยางทุกสูตรมีค่าความเป็นกรด-ค่างอยู่ที่ 8.9-9.7 ซึ่งสูงกว่ามอก.181-2530 ที่กาวยางมีค่าความเป็นกรด-ค่างสูงกว่ามอก.181-2530 เนื่องจากต้องมีการปรับความเป็นกรด-ค่างให้มีค่าใกล้เคียงกับความเป็นกรด-ค่างของสารเพิ่มความยึดติดที่เดินลงไปในกาวยางเพื่อไม่ให้กาวยางจับตัวเป็นก้อน และเมื่อเปรียบเทียบระหว่างกาวยางที่ไม่ผ่านสารเพิ่มการยึดติดกับกาวยางที่ผ่านสารเพิ่มการยึดติด พนว่าชนิดและปริมาณของสารเพิ่มการยึดติดไม่มีผลต่อความหนืดและความเป็นกรด-ค่าง

#### 4.5 การทดสอบความต้านแรงลอก

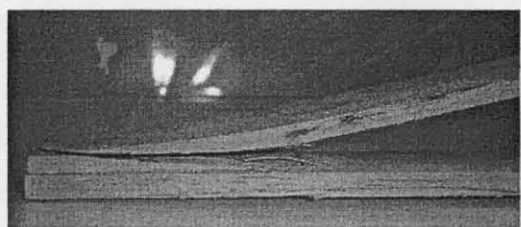
การทดสอบความต้านแรงลอกเป็นการทดสอบการที่แข็งตัวอย่างสมบูรณ์ เพื่อประเมินแรงยึดเกาะของการกับไม้ยางพารา โดยการทดสอบจะใช้ชิ้นทดสอบ 5 ชิ้นต่อหนึ่งตัวอย่าง ซึ่งผลการทดสอบ และลักษณะของชิ้นทดสอบภายหลังการทดสอบ แสดงดังภาพประกอบที่ 52 และ 53 ตามลำดับ



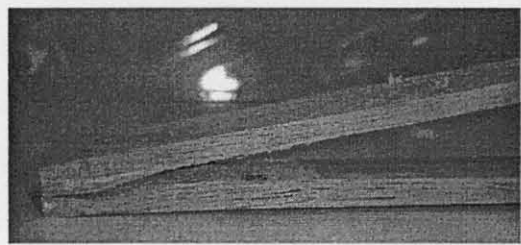
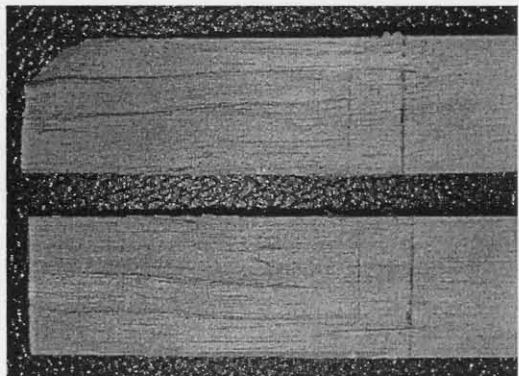
ภาพประกอบที่ 52 กราฟแสดงผลของชนิดการต่อความต้านแรงลอก

1. การยาง, การ TOA, การ UF
2. การยางผสมคิวามiron อิมัลชัน 6 phr, 7 phr, 8 phr
3. การยางผสมแป้งข้าวเหนียวเจลลาตีไนซ์ 6 phr, 7 phr, 8 phr
4. การยางผสมแป้งข้าวเหนียวเจลลาตีไนซ์ : คิวามiron อิมัลชัน 1.75 : 5.25, 3.5 : 3.5, 5.25 : 1.75 phr
5. การยางผสมแป้งข้าวเหนียวเจลลาตีไนซ์ : คิวามiron อิมัลชัน 2 : 6, 4 : 4, 6 : 2 phr

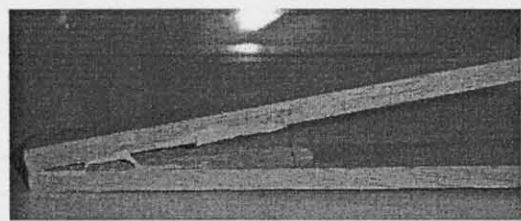
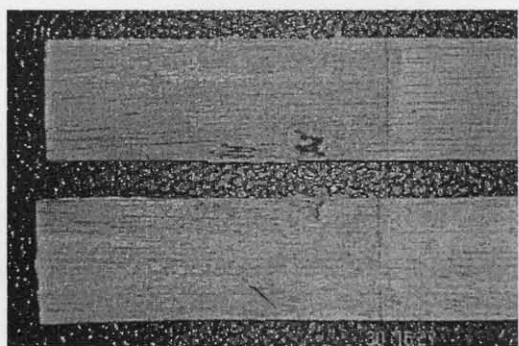
หมายเหตุ - การยางแต่ละชุดเรียงลำดับข้อมูลจากซ้ายไปขวา



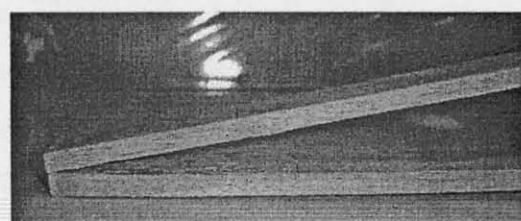
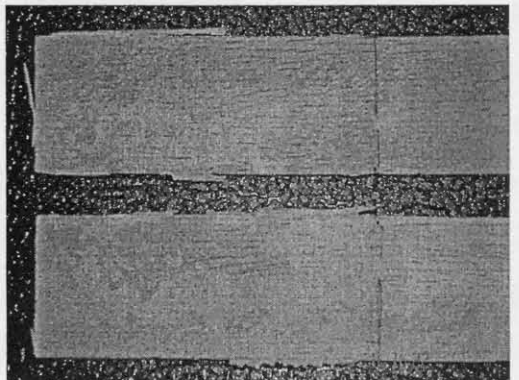
(1) กาว UF



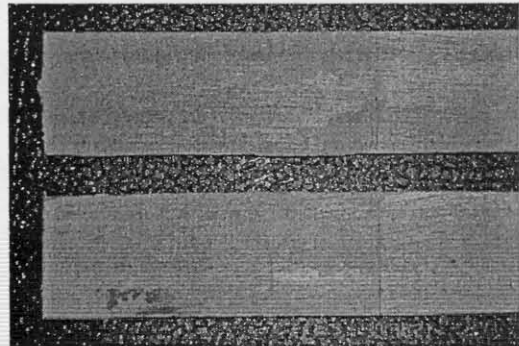
(2) กาว TOA



(3) กาวยาง



(4) กาวยางสูตรต่างๆ



จากภาพประกอบที่ 52 แสดงผลของชนิดการต่อความด้านแรงลอก และภาพประกอบที่ 50 แสดงลักษณะของชิ้นทดสอบภายหลังการทดสอบความด้านแรงลอก พนว่าจาก การทดสอบความด้านแรงลอกมีค่าความเบี่ยงเบนมาตรฐาน (Standard deviation, SD) อยู่ในช่วง 0.05-0.23 ผลการทดสอบมีความถูกต้องอย่างมีนัยสำคัญ ชิ้นทดสอบที่ติดกาว TOA และกาว UF (ซึ่ง เป็นกาวที่ใช้ปัจจุบันในโรงงานที่ให้ความอนุเคราะห์) ภายหลังการดึงลอกมีส่วนของเศษไม้ของชิ้นทดสอบด้านหนึ่งติดอยู่กับชิ้นทดสอบอีกด้าน แสดงให้เห็นว่ากาว TOA และกาว UF มีการดูดซึม และซึมซาบของไวน้ำตามรูพรุนในเนื้อไม้ได้ดีทำให้เกิดแรงยึดเกาะระหว่างกาวกับไม้สูง ส่งผลให้ ความด้านแรงลอกมีค่าสูงกว่ากาวยางที่ไม่ได้ผสมสารเพิ่มการยึดติด และกาวยางสูตรต่างๆ ที่ผสม สารเพิ่มการยึดติด ในขณะที่กาวยางที่ไม่ได้ผสมสารเพิ่มการ ยึดติด และกาวยางสูตรต่างๆ ที่ผสม สารเพิ่มการยึดติด ชิ้นไม้ทดสอบหั้งสองแยกออกจากกัน โดยไม่มีเศษไม้ติดมาด้วยมีแต่ร่องกาวยาง ที่แห้งติดอยู่บนชิ้นทดสอบหั้งสองด้าน หั้งๆที่อนุภาคของกาวยางที่เตรียมได้ทุกชนิด มีขนาดอนุภาค เล็กกว่าน้ำครูพรุนของไม้ยางพารา (หัวข้อ 4.3.5) อนุภาคของกาวยางน่าจะซึมซาบเข้าไปในรูพรุน ของเนื้อไม้ได้ดีแต่ผลไม่เป็นอย่างที่กล่าวมาอาจเนื่องจากการเคลื่อนที่ของกาวยางผ่านเข้าไปในเนื้อ ไม้มีน้อย ส่วนใหญ่กาวอยู่เฉพาะบริเวณผิวน้ำทำให้แรงยึดเกาะระหว่างกาวกับไม้ต่ำ เมื่อ เปรียบเทียบระหว่างกาวยางที่ไม่ผสมสารเพิ่มการยึดติดกับกาวยางที่ผสมสารเพิ่มการยึดติด พนว่า กาวยางที่ไม่ผสมสารเพิ่มการยึดติดมีความด้านแรงลอกสูงสุด แต่ไม่สูงกว่ากาว TOA และกาว UF อาจเนื่องมาจากกาวยางที่ไม่ได้ผสมสารเพิ่มการยึดติดมีสมบัติความเป็นยาง (Elastomer) และมีความ เหนียวมากกว่า จึงทำให้ต้องใช้แรงในการดึงลอกมากกว่ากาวยางสูตรต่างๆ ที่ผสมสารเพิ่มการยึดติด อีกทั้งกาวยางที่ไม่ผสมสารเพิ่มการยึดติดยังมีความเป็นเนื้อเดียวกันมากกว่ากาวยางที่ผสมสารเพิ่ม การยึดติด นอกเหนือการเพิ่มปริมาณสารเพิ่มการยึดติดทั้งเป็นข้าวเหนียวเจลต้าตีไนซ์ และคิวามะโนน อินมัลชันในกาวยางทำให้ความด้านแรงลอกมีค่าลดลง และกาวยางที่มีส่วนผสมของเป็นข้าวเหนียว เจลต้าตีไนซ์ ทุกอัตราส่วนมีความด้านแรงลอกสูงกว่ากาวยางที่ผสมคิวามะโนนอินมัลชัน ทั้งนี้ เนื่องมาจากกาวยางที่ผสมเป็นข้าวเหนียวเจลต้าตีไนซ์มีความเป็นเนื้อเดียวกันมากกว่ากาวยางที่ผสม คิวามะโนนอินมัลชัน และการรวมตัวเป็นกลุ่มเล็กๆของอนุภาคเมื่อแห้งมีน้อยกว่ากาวยางที่ผสม คิวามะโนนอินมัลชัน จึงทำให้ต้องใช้แรงในการดึงลอกมากกว่า ดังภาพด้าน SEM แสดงลักษณะ ผิวของกาวยางในหัวข้อ 4.3.6

เมื่อเปรียบเทียบผลการทดสอบกับงานวิจัยของอรสา ภัทรไพบูลย์ชัย และเรวดี แต่ง เกลียง [34] ซึ่งใช้สูตรในการผลิตกาวไกต์เทิงกับงานวิจัยนี้โดยผลิตกาวจากน้ำยางข้น พนว่ากาวยาง ที่ไม่ผสมสารเพิ่มการยึดติดมีค่าความด้านแรงลอกเท่ากับ  $1.75 \text{ kN/m}$  และงานวิจัยของ อารชีชัน แกกามาน และคณะ [32] ศึกษาการเตรียมกาวจากยางธรรมชาติแบบแห้งโดยใช้โถกอินและ

น้ำมันสปีนเดล อัตราส่วน 50 : 50 โดยน้ำหนัก เป็นตัวทำละลาย ผสมกับสารเพิ่มการยึดติดชนิด coumarone indene resin ทดสอบความต้านแรงลอก โดยการทำความต้านแรงลอกที่มีผิวധานจำนวน 2 ชิ้นแล้วนำประมาณกัน พนวจ้าวจากยางแห้งที่ไม่ผสมสารเพิ่มการยึดติดมีค่าความต้านแรงลอกเท่ากับ  $1.90 \times 10^3$  kN/m และการที่ผสม coumarone indene resin ที่ 10 phr ให้ค่าความต้านแรงลอกสูงสุดเท่ากับ  $3.53 \times 10^3$  kN/m แต่ถ้าที่ได้ยังน้อยกว่าจากยางที่ผลิตจากน้ำยางธรรมชาติอี-พอกไชร์ที่ผสมคิวนาโนนอินลชันปริมาณ 6 phr มีค่าความต้านแรงลอกเท่ากับ  $1.89 \times 10^6$  kN/m จากงานวิจัยทั้งสอง พนวจ้าวจากยางที่ผลิตจากน้ำยางธรรมชาติอีพอกไชร์ที่ไม่ผสมสารเพิ่มการยึดติดให้ค่าความต้านแรงลอกเท่ากับ  $4.41 \times 10^6$  kN/m ซึ่งค่าที่ได้สูงกว่าการที่ผลิตจากน้ำยางข้นและการที่ผลิตจากยางแห้ง

นอกจากนี้แล้วหากเปรียบเทียบกับงานวิจัยจากการยางธรรมชาติอีพอกไชร์ที่สามารถหาข้อมูลได้ในขณะนี้คืองานวิจัยของ นาภูญา แซ่ลี่น [40] ซึ่งผลิตการชนิดทันน้ำมันอยู่ในรูปยางธรรมชาติอีพอกไชร์ 50 โมลเบอร์เซ่น ที่ปริมาณ wood resin 50 phr ให้ค่าความต้านแรงลอก  $7.9 \times 10^6$  kN/m และทบทวนค่าการแข็งน้ำทั้งรูปแบบอกแรงดึงทุกๆ วัน และรูปแบบที่ปล่อยให้หลุดออกแต่ไม่ได้ระบุค่าแรงที่สามารถถอดได้ จึงมีข้อเด่นคือทบทวนค่าการแข็งน้ำกว่าการที่ผลิตในงานวิจัยนี้ซึ่งเกิดการหลุดล่อนของยางและไม่หลังการแข็งน้ำ

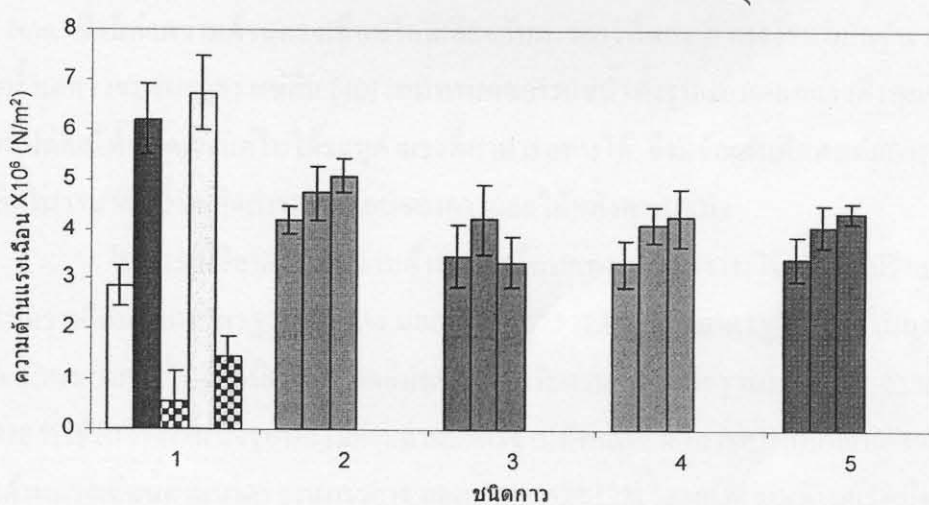
หากเปรียบเทียบกับความต้านแรงลอก (กรณีไม่แข็งน้ำ) ของการยางตามมาตรฐาน มอก.521-2527 [22] และการโพลีไวนิลอะซิเทอิมลชัน สำหรับงานไม้ มาตรฐานมอก.181-2530 [23] ซึ่งระบุค่าความต้านแรงลอกไม่ควรน้อยกว่า  $2 \times 10^6$  kN/m พนวจ้าวมีเพียงการยางผสมคิวนาโนนอินลชัน 6 phr, 7 phr, 8 phr และการยางผสมแป้งข้าวเหนียวเจลลาราตีไนซ์ 8 phr เท่านั้นที่ไม่ผ่านมาตรฐานดังกล่าว สำหรับกรณีหลังการแข็งน้ำเฉพาะการยางตามมาตรฐาน มอก.521-2527 [22] เท่านั้นที่ระบุค่าความต้านแรงลอกไม่ควรน้อยกว่า  $2 \times 10^6$  kN/m อย่างไรก็ตามงานวิจัยนี้ไม่สามารถทดสอบความต้านแรงลอกหลังการแข็งน้ำของยางทุกชนิดได้เนื่องจากการเกิดการหลุดล่อนของยางและไม่หลังการแข็งน้ำ

#### 4.6 การทดสอบความต้านแรงเฉือน

การทดสอบความต้านแรงเฉือนเป็นการทดสอบการที่แข็งตัวอย่างสมบูรณ์ เพื่อประเมินแรงยึดเกาะของกาวกับไม้ยางพารา เช่นเดียวกับการทดสอบความต้านแรงลอก แต่จะใช้ชิ้นทดสอบ 10 ชิ้นต่อหนึ่งตัวอย่าง ซึ่งผลการทดสอบ และลักษณะของชิ้นทดสอบภายหลังการทดสอบ แสดงดังภาพประกอบที่ 54 และ 55 ตามลำดับ

จากภาพประกอบที่ 54 แสดงผลของชนิดกาวต่อความต้านแรงเฉือน และภาพ

ประกอบที่ 55 แสดงลักษณะของชิ้นทดสอบภายหลังการทดสอบความต้านแรงเฉือน พบร่วมชิ้นทดสอบที่ติดกาว TOA และกาว UF ภายหลังการดึงมีส่วนของเศษไม้ของชิ้นทดสอบด้านหนึ่งติดอยู่กับชิ้นทดสอบอีกด้าน แสดงให้เห็นว่ากาว TOA และกาว UF มีการดูดซึมและซึมซาบของไวน้ำรูพรุนในเนื้อไม้ได้ดีทำให้เกิดแรงยึดเกาะระหว่างกาวกับไม้สูง ส่งผลให้ความต้านแรงเฉือนมีค่าสูงกว่ากาวยางที่ไม่ได้ผ่านสารเพิ่มการยึดติด และกาวยางสูตรต่างๆ ที่ผ่านสารเพิ่มการยึดติดในขณะที่กาวยางที่ไม่ได้สารเพิ่มการยึดติด และกาวยางสูตรต่างๆ ที่ได้สารเพิ่มการยึดติด ชิ้นไม้ทดสอบทั้งสองแบบแยกจากกัน โดยไม่มีเศษไม้ติดมาด้วยมีแต่ครานกาวยางที่แห้งติดอยู่บนชิ้นทดสอบทั้งสองด้าน เหตุผลเช่นเดียวกับการอธิบายผลของชนิดการต่อความต้านแรงลอก ทั้งๆ ที่อนุภาคของกาวยางน่าจะซึมซาบเข้าไปในรูพรุนของเนื้อไม้ได้ดีแต่ผลไม่เป็นอย่างที่กล่าวมาอาจเนื่องจากการเคลื่อนที่ของกาวยางผ่านเข้าไปในเนื้อไม้มีน้อย กาวส่วนใหญ่อยู่เฉพาะบริเวณผิวน้ำทำให้แรงยึดเกาะระหว่างกาวกับไม้ต่ำ จึงทำให้ค่าความต้านแรงเฉือนที่ได้มีน้อยลงและลักษณะของชิ้นทดสอบของกาวยางภายหลังการดึงเกิดความเสียหายเฉพาะตรงจุดทากว่าไม่ได้เกิดบริเวณเนื้อไม้



ภาพประกอบที่ 54 กราฟแสดงผลของชนิดการต่อความต้านแรงเฉือน

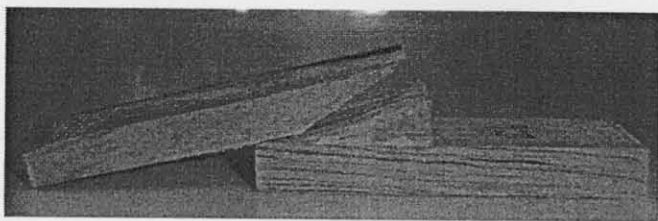
- กาวยาง, กาว TOA, กาว TOA (แผ่น), กาว UF, กาว UF (แผ่น)
- กาวยางผสมคิวามะโนนอิมลัชัน 6 phr, 7 phr, 8 phr
- กาวยางผสมแป้งข้าวเหนียวเจลลาตีไนซ์ 6 phr, 7 phr, 8 phr
- กาวยางผสมแป้งข้าวเหนียวเจลลาตีไนซ์ : คิวามะโนนอิมลัชัน 1.75 : 5.25, 3.5 : 3.5, 5.25 : 1.75 phr
- กาวยางผสมแป้งข้าวเหนียวเจลลาตีไนซ์ : คิวามะโนนอิมลัชัน 2 : 6, 4 : 4, 6 : 2 phr

หมายเหตุ – กรณีแผ่นน้ำชิ้นทดสอบที่ติดด้วยกาวยางทุกสูตรเกิดการหลุดร่อนออก

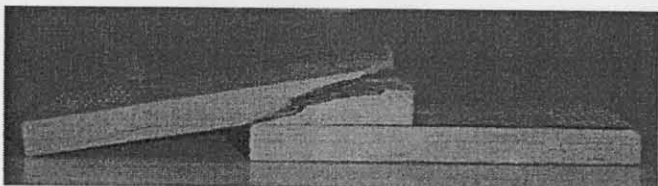
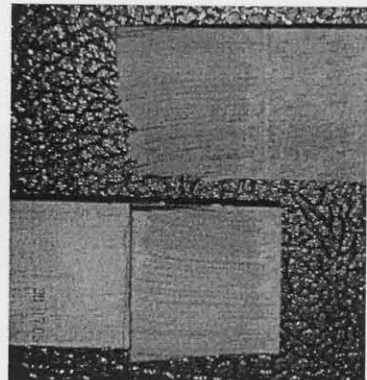
เมื่อเปรียบเทียบระหว่างความต้านแรงที่ไม่ผสมสารเพิ่มการยึดคิดกับความต้านแรงที่ผสมสารเพิ่มการยึดคิด พบว่าความต้านแรงเดือนมีแนวโน้มเพิ่มขึ้นตามปริมาณสารเพิ่มการยึดคิด โดยความต้านแรงที่ไม่ผสมสารเพิ่มการยึดคิดอยู่ที่  $5 \times 10^6 \text{ N/m}^2$  และในกรณีของความต้านแรงเดือนสูงสุดเมื่อเปรียบเทียบกับความต้านแรงสูตรอื่นๆ คือ  $5 \times 10^6 \text{ N/m}^2$  แต่ในกรณีของความต้านแรงที่ผสมแป้งข้าวเหนียวเคลลูติไนซ์ควรใช้ไม่เกิน 7 phr เพราะการใช้ปริมาณแป้งข้าวเหนียวเคลลูติไนซ์ที่ 8 phr ทำให้ความต้านแรงเดือนลดลง และเมื่อเปรียบเทียบกับงานวิจัยของอรสา กัตtri ใหมูลย์ชัย และเรวดี แต่งเกลี้ยง [34] ที่ผลิตภัณฑ์จากน้ำข้างขันพบว่าความต้านแรงเดือนของภัณฑ์ที่ไม่ผสมสารเพิ่มการยึดคิดมีค่าเท่ากับ  $0.69 \times 10^6 \text{ N/m}^2$  ซึ่งค่าที่ได้นี้น้อยกว่าความต้านแรงเดือนของภัณฑ์ที่ไม่ผสมสารเพิ่มการยึดคิดมีค่าแรงเดือนเท่ากับ  $2.85 \times 10^6 \text{ N/m}^2$

นอกจากนี้แล้วหากเปรียบเทียบกับงานวิจัยความต้านแรงธรรมชาติอิพอกไซด์ที่สามารถหาข้อมูลได้ในขณะนี้คืองานวิจัยของ นาภูษา แซ่ลี่ม [40] ซึ่งผลิตภัณฑ์น้ำมันอยู่ในรูปของความต้านแรงเดือน  $5.5 \times 10^6 \text{ N/m}^2$  ซึ่งมีค่าความต้านแรงเดือนใกล้เคียงกับความต้านแรงที่ผสมความต้านแรงเดือน  $5 \times 10^6 \text{ N/m}^2$  ในงานวิจัยนี้ แต่กาวของนาภูษา แซ่ลี่ม [40] ทนทานต่อการแช่น้ำทั้งรูปแบบออกแรงคงทุกๆ วัน และรูปแบบที่ปล่อยให้หลุดออกแต่ไม่ได้ระบุค่าแรงที่สามารถถอดรหันได้ จึงมีข้อเด่นคือทนต่อการแช่น้ำกว่า กาวที่ผลิตในงานวิจัยนี้ซึ่งเกิดการหลุดล่อนของกาวและไม่หลังการแช่น้ำ

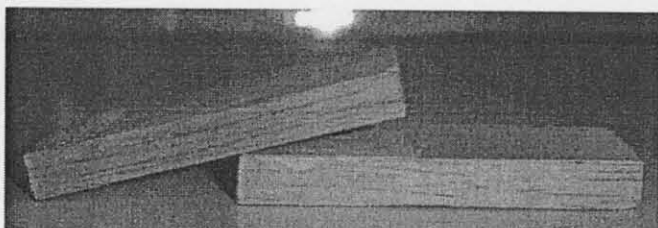
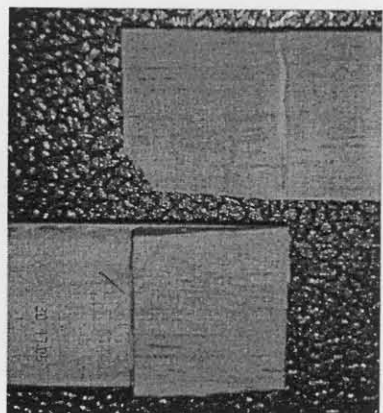
ในการเปรียบเทียบความต้านแรงเดือนของกาวในงานวิจัยนี้ขอเปรียบเทียบกับความต้านแรงเดือนตามมาตรฐานกาวยาง มอก.521-2527 [22] เพียงมาตรฐานเดียว เนื่องจากความต้านแรงเดือนของกาวโพลีไวนิลอะซิเทตอิมัลชัน สำหรับงานไม้ มาตรฐานมอก.181-2530 [23] นั้น เม็กาว UF ที่ใช้ในโรงงานปัจจุบันก็ไม่ผ่านความต้านแรงเดือนดังกล่าว ผลการเปรียบเทียบดังกล่าวพบว่า ค่าความต้านแรงเดือนตามมาตรฐานกาวยาง มอก.521-2527 [22] ระบุค่าความต้านแรงเดือนไม่น้อยกว่า  $0.22 \times 10^6 \text{ N/m}^2$  ทั้งกรณีก่อนแช่น้ำและหลังการแช่น้ำ กรณีก่อนแช่น้ำพบว่ากาวทุกชนิดในงานวิจัยสามารถผ่านมาตรฐานดังกล่าวได้ โดยมีค่าสูงกว่ามาตรฐานเฉลี่ยประมาณ 20 เท่า กรณีหลังการแช่น้ำ เมื่อทดสอบกาวโดยการนำชิ้นทดสอบไปแช่น้ำนาน 24 ชั่วโมง พบว่าชิ้นทดสอบที่ติดด้วยกาวทุกสูตรเกิดการหลุดร่อนออก สำหรับชิ้นทดสอบที่ติดด้วยกาว TOA และกาว UF นั้น ไม่หลุดร่อนโดยมีค่าความต้านแรงเดือนลดลงประมาณ 10 เท่า และ 5 เท่า ตามลำดับ แต่ค่าที่ได้ผ่านมาตรฐานกาวยาง มอก.521-2527 [22]



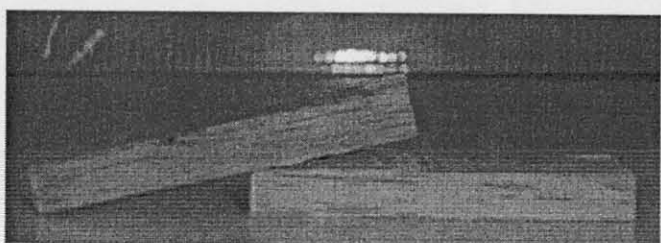
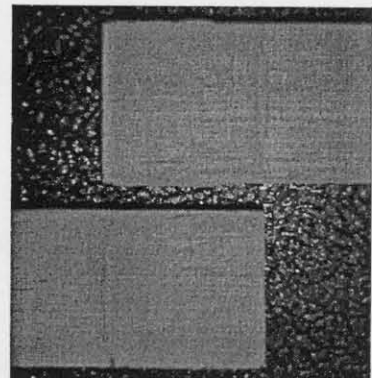
(1) กาว UF



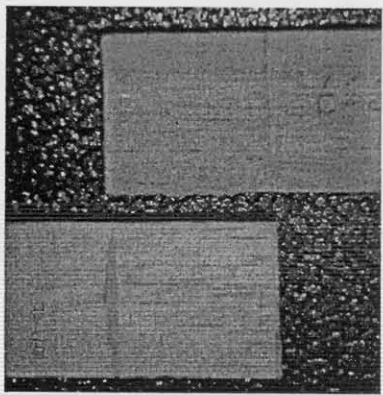
(2) กาว TOA



(3) กาวยาง



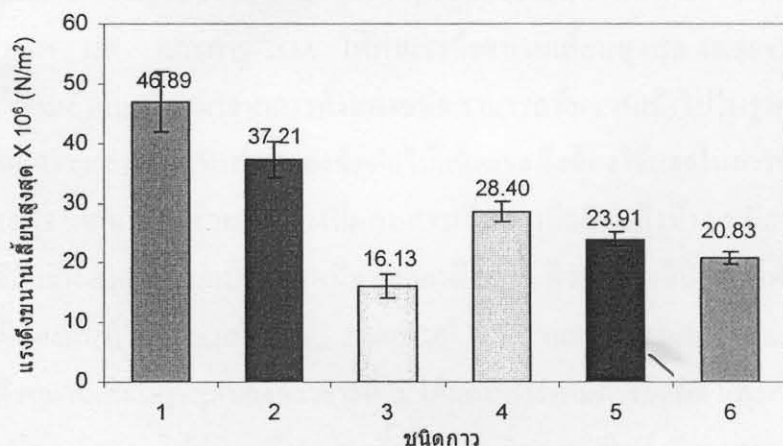
(4) กาวยางสูตรต่างๆ



ภาพประกอบที่ 55 แสดงลักษณะของชั้นพื้นที่ทดสอบภายหลังการทดสอบแรงเฉือน

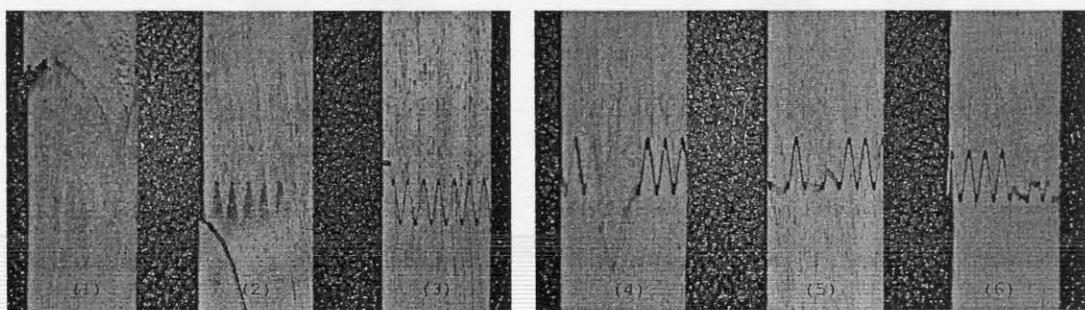
#### 4.7 การทดสอบความแข็งแรงของข้อต่อแบบนิวมือประสาท

ทำการทดสอบเฉพาะภาวะการยางสูตรที่ผสมสารเพิ่มการยึดติดแต่ละชนิดที่ให้ค่าความต้านแรงเฉือนสูงสุด โดยทำการทดสอบการดึงขนาดเสี้ยบและการดัดสอด ซึ่งจะใช้ชิ้นทดสอบจำนวน 10 ชิ้นต่อหนึ่งตัวอย่าง



ภาพประกอบที่ 56 กราฟแสดงผลของชนิดการต่อแรงดึงขนาดเสี้ยบสูงสุด

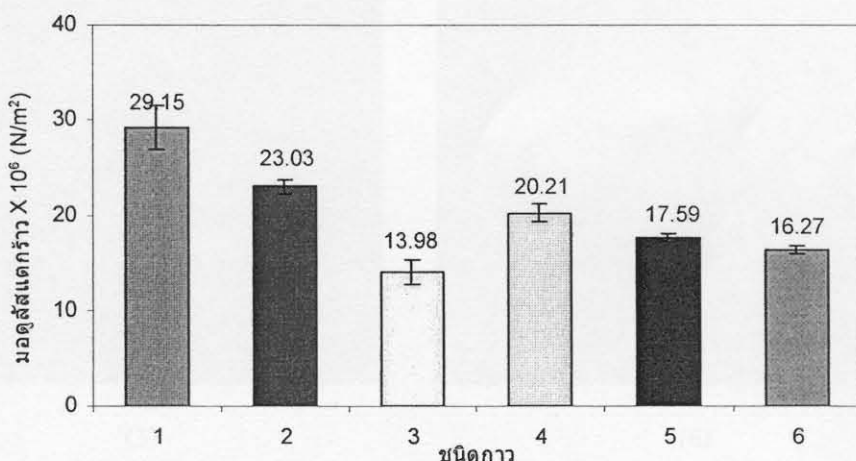
- |            |   |
|------------|---|
| 1. กาว UF  | 4. กาวยางพาราโวนอิมลัชัน 8 phr  |
| 2. กาว TOA | 5. กาวยางพาราเป็นข้าวเหนียวเจลลาตีไนซ์ 7 phr                          |
| 3. กาวยาง  | 6. กาวยางพาราเป็นข้าวเหนียวเจลลาตีไนซ์ 6 phr : คิวมาโวนอิมลัชัน 2 phr |



ภาพประกอบที่ 57 แสดงลักษณะของชิ้นทดสอบภายหลังการทดสอบแรงดึงขนาดเสี้ยบสูงสุด

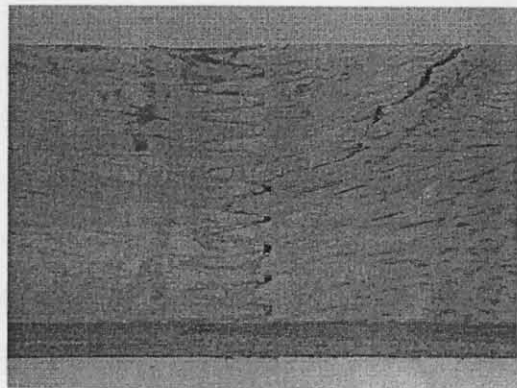
ภาพประกอบที่ 57 แสดงลักษณะของชิ้นทดสอบภายหลังการทดสอบแรงดึงขนาดเสี้ยบสูงสุด พนวจชิ้นทดสอบที่ติดด้วยกาว UF มีลักษณะการหลีกขาดตามทิศทางการเรียงตัวของ

เดี่ยน และการ TOA มีลักษณะการฉีกขาดของชิ้นทดสอบไกล์แนร์อยู่ต่อ การยางที่ผสมสารเพิ่มการยึดติดทึ้งเบ่งข้าวเหนียวเจลلاتีไนซ์ และคิวามะโนนอิมัลชัน ชิ้นทดสอบมีลักษณะการฉีกขาดของไม้ที่ตัวนี้มีประสาณ ส่วนการยางที่ไม่ได้ผสมสารเพิ่มการยึดติด (3) ชิ้นทดสอบมีเพียงการแยกที่รอยต่อ ลักษณะการฉีกขาดของชิ้นทดสอบสอดคล้องกับค่าแรงดึงขนาดเสียงสูงสุด ดังแสดงในภาพประกอบที่ 56 พบว่าจากการทดสอบแรงดึงขนาดเสียงสูงสุดมีค่าความเบี่ยงเบนมาตรฐาน (Standard deviation, SD) อยู่ในช่วง 0.9-4.9 ค่าแรงดึงขนาดเสียงที่ได้ส่างผลอย่างมีนัยสำคัญ ซึ่งชิ้นทดสอบที่ติดด้วยการ UF และการ TOA ให้ค่าแรงดึงขนาดเสียงสูงสุด  $46.89 \times 10^6 \text{ N/m}^2$  และ  $37.21 \times 10^6 \text{ N/m}^2$  ตามลำดับ เมื่อong มาจากภาวะทึ้งสองชนิดสามารถซึมซาบเข้าไปในรูพรุนในเนื้อไม้ได้สูง ทำให้การยึดติดระหว่างกวักบันส่วนของข้อต่อไม้แข็งแรง จึงต้องใช้แรงในการดึงแยกส่วนของข้อต่อให้หลุดออกจากกันมาก ส่วนการยางที่ผสมสารเพิ่มการยึดติดเบ่งข้าวเหนียวเจลلاتีไนซ์ 7 phr, คิวามะโนนอิมัลชัน 8 phr และเบ่งข้าวเหนียวเจลلاتีไนซ์ : คิวามะโนนอิมัลชันให้ค่าแรงดึงขนาดเสียงสูงสุดไกล์เกียงกันที่  $23.91 \times 10^6 \text{ N/m}^2$ ,  $28.40 \times 10^6 \text{ N/m}^2$  และ  $20.83 \times 10^6 \text{ N/m}^2$  ตามลำดับ ซึ่งมากกว่าค่าแรงดึงขนาดเสียงสูงสุดของการยางที่ไม่ได้ผสมสารเพิ่มการยึดติด และการยางที่ผสมคิวามะโนนอิมัลชันปริมาณ 8 phr ให้ค่าแรงดึงขนาดเสียงสูงสุดที่สุด แต่ค่าแรงดึงขนาดเสียงที่ได้ยังมีค่าน้อยกว่าแรงดึงขนาดเสียงของการ UF และการ TOA ประมาณ 1.6 และ 1.3 เท่า ตามลำดับ

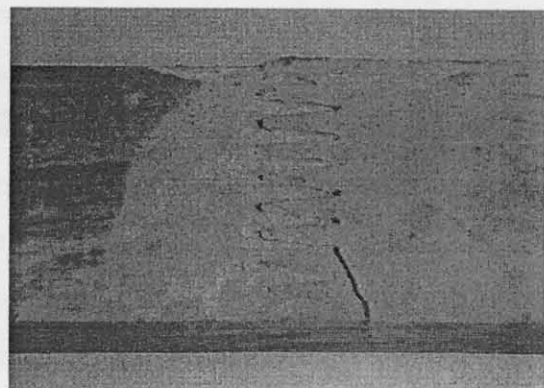


ภาพประกอบที่ 58 กราฟแสดงผลของชนิดกาวต่อค่ามอคูลัสแตกร้าว

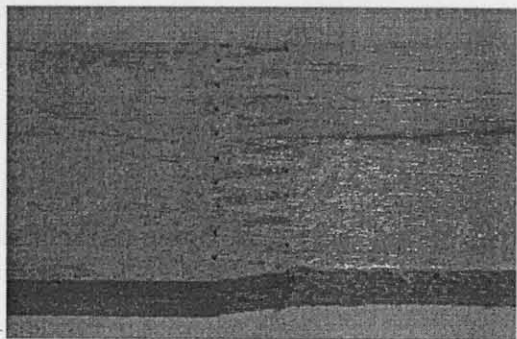
1. กาว UF
2. กาว TOA
3. การยาง
4. การยางผสมคิวามะโนนอิมัลชัน 8 phr
5. การยางผสมเบ่งข้าวเหนียวเจลلاتีไนซ์ 7 phr
6. การยางผสมเบ่งข้าวเหนียวเจลلاتีไนซ์ 6 phr : คิวามะโนนอิมัลชัน 2 phr



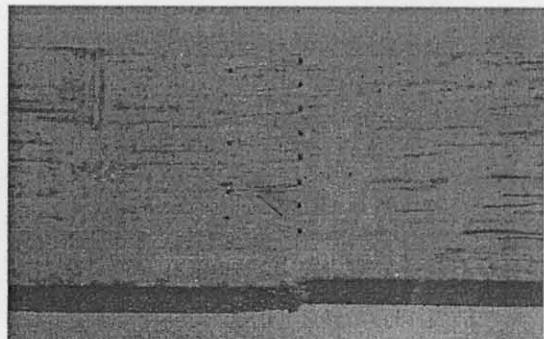
(1)



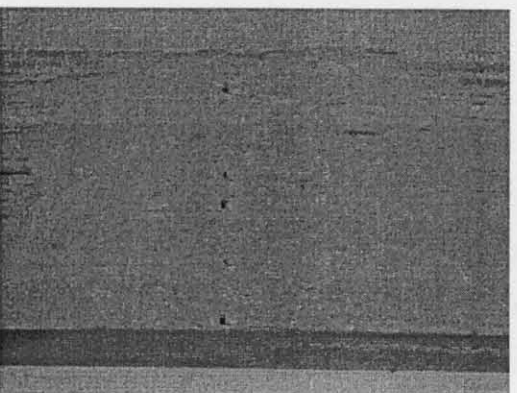
(4)



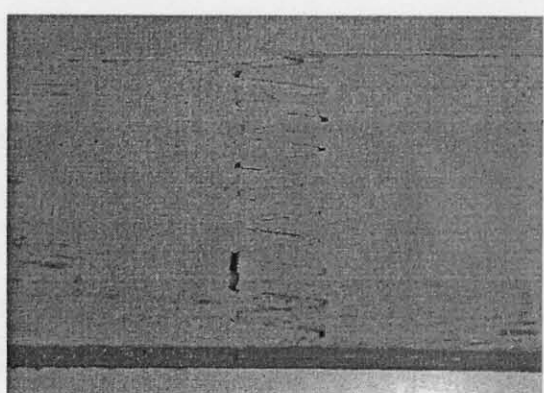
(2)



(5)



(3)



(6)

ภาพประกอบที่ 59 แสดงลักษณะของชิ้นทดสอบภายหลังการทดสอบการดัดสติกิ้ย

- |            |  |
|------------|--|
| 1. กาว UF  | 4. กาวยางพسمคิวมาiron อิมลัชัน 8 phr                                   |
| 2. กาว TOA | 5. กาวยางพสมแป้งข้าวเหนียวเจลลาตีไนซ์ 7 phr                            |
| 3. กาวยาง  | 6. กาวยางพสมแป้งข้าวเหนียวเจลลาตีไนซ์ 6 phr : คิวมาiron อิมลัชัน 2 phr |

ภาพประกอบที่ 59 แสดงลักษณะของชิ้นทดสอบภายหลังการคัดสติตซ์ พนวันชิ้นทดสอบที่คิดด้วยการ UF มีลักษณะการแตกหักที่แนวรอยต่อไม้อบ่างเหินได้ชัด ส่วนการ TOA การยางที่ผ่านสามารถเพิ่มการยึดติดทั้งเป็นข้าวเหนียวเคลือบในชิ้นทดสอบและความโน้มอันลักษณ์และการยางที่ไม่ได้ผ่านสารเพิ่มการยึดติดชิ้นทดสอบมีลักษณะแยกที่รอยต่อแต่เห็นรอยแตกหักไม่ชัดเจน ชิ้นทดสอบโกร่งอบริเวณรอยต่อเนื่องมาจากแรงที่กดลงบนชิ้นทดสอบ กลสมบัติที่คำนวณได้จากผลการทดสอบการคัดสติตซ์ คือ modulus of rupture (Modulus of rupture, MOR) ดังแสดงในภาพประกอบที่ 58 พนวันการทดสอบการคัดสติตซ์มีค่าความเบี่ยงเบนมาตรฐาน (Standard deviation, SD) อยู่ในช่วง 0.4-2.3 ค่า modulus of rupture ที่ได้ส่งผลอย่างมีนัยสำคัญ ชิ้นทดสอบที่คิดด้วยการ UF ให้ค่า modulus of rupture ที่สุดที่  $29.15 \times 10^6 \text{ N/m}^2$  อาจเนื่องมาจากการสามารถซึมเข้าไปในรูพรุนในเนื้อไม้ได้สูง เนื่องจากขนาดอนุภาคของความมีขนาดเล็กกว่าขนาดของรูพรุนของไม้ยางพารา ทำให้การยึดติดระหว่างกาวกับส่วนของข้อต่อไม้แข็งแรง จึงต้องใช้แรงกดเพื่อข้อต่อให้หลุดออกจากกันมาก ส่วนการยางที่ผ่านคิวโนโน้มอันลักษณ์ปริมาณ 8 phr ให้ค่า modulus of rupture ที่สุดที่  $20.21 \times 10^6 \text{ N/m}^2$  เมื่อเทียบกับการยางสูตรอื่นๆ

#### 4.8 การประเมินต้นทุนในการเตรียมการยาง

ในการคำนวณต้นทุนการเตรียม 20% โดยน้ำหนักของน้ำยางธรรมชาติอิพอกไซด์ แสดงดังตารางที่ 16 โดยคำนวณจากราคาของ 60% โดยน้ำหนักของน้ำยางขัน คิดเทียบจากปริมาณเนื้อยางแห้งที่ต้องใช้ในการเตรียมซึ่งเท่ากับ 115.6 กรัม โดยไม่คำนึงถึงต้นทุนในการซื้อต้นต่อการปรับความเข้มข้นของ 20% โดยน้ำหนักของน้ำยางธรรมชาติอิพอกไซด์ ให้เป็น 60% โดยน้ำหนัก ก่อนนำไปเตรียมการยาง สำหรับการคำนวณต้นทุนในการเตรียม 22% คิวโนโน้มอันลักษณ์ และต้นทุนในการเตรียมการยางผสานคิวโนโน้มอันลักษณ์ 8 phr แสดงดังตารางที่ 17 และ 18 ตามลำดับ

จากการประเมินต้นทุนในการเตรียมการยาง โดยคำนวณค่าใช้จ่ายเฉพาะในส่วนของวัสดุคิบิที่ใช้ในการเตรียมเท่านั้น ไม่คำนึงถึงค่าไฟฟ้าและค่าแรงงาน ราคาการยางที่เตรียมได้ประมาณ 219 บาทต่อ基โลกรัม

### ตารางที่ 16 แสดงคืนทุนในการเตรียมน้ำยาหง蓉ชาติอีพอกไซด์

รายการ	มูลค่า (บาท/กิโลกรัม)	ปริมาณ (กรัม)	มูลค่ารวม (บาท)
60% น้ำยาหงชิ้น	60	193	11.58
กรคฟอร์มิก*	1148	174	199.75
ไฮโดรเจนเปอร์อوكไซด์**	28	797	22.32
10% Teric N30***	128	50	0.64
มูลค่ารวม		1214	234.29
มูลค่ารวม (บาท/กิโลกรัม)			192.99

\* กรคฟอร์มิก เข้มข้น 98-100% ความหนาแน่น 1.22 g/mL

\*\* ไฮโดรเจนเปอร์ออกไซด์ เข้มข้น 50% ความหนาแน่น 1.11 g/mL

\*\*\* คำนวณราคา Teric N30 โดยคิดเทียบจากน้ำหนักแห้ง \

### ตารางที่ 17 แสดงคืนทุนในการเตรียม 22% กิวามะโนนอิมลชัน

รายการ	มูลค่า (บาท/กิโลกรัม)	ปริมาณ (กรัม)	มูลค่ารวม (บาท)
กิวามะโนนเรซิน	140	40	5.60
โกลูอีน*	228	43	9.80
25% โปไปแสเซมนไฮดรอกไซด์**	400	1.36	0.14
12% พอลิไวนิลแอลกอฮอล์**	1260	98	15.12
มูลค่ารวม		182.36	30.66
มูลค่ารวม (บาท/กิโลกรัม)			168.13

\* โกลูอีน ความหนาแน่น 0.87 kg/L

\*\* คำนวณราคา โปไปแสเซมนไฮดรอกไซด์และพอลิไวนิลแอลกอฮอล์โดยคิดเทียบจากน้ำหนักแห้ง

ตารางที่ 18 เสต็คด้านทุนในการเตรียมกาวยางพาราคิวมาโรนอินลชัน 8 phr

รายการ	มูลค่า (บาท/กิโลกรัม)	ปริมาณ (กรัม)	มูลค่ารวม (บาท)
60% น้ำยางธรรมชาติอีพอกไซด์	192.99	167	32.23
10% โป๊ಡເສເຊີມໄຂຄຣອກໄຊດ์*	400	5	2
50% ວິງສເຕັບ ແອດ	195	3	0.59
50% ໄກທານີຍິນໄໂຄອອກໄຊດໍ	140	3	0.42
50% ຜົງຄ່ອກໄຊດໍ	105	4	0.42
50% ແຊຄລື້ອື້	155	2	0.31
50% ກໍານະດັນ	75	4	0.30
5% CMC*	8400	60	25.2
10% Potassium oleate	45	30	1.35
22% ຄິວມາໂຣນອິນລັບໜັນ	168.13	36.36	6.11
ມູນຄ່າรวม		314.36	68.93
ມູນຄ່າรวม (บาท/กิโลกรัม)			219.27

\* ກໍານວຍຮາຄາໄປແຕສເຊີມໄຂຄຣອກໄຊດໍ ແລະ CMC ໂດຍຄືດເຖິນຈາກນໍາຫັນກັກແໜ່ງ

## ผลการทดสอบและวิจารณ์

ส่วนที่ 2 การรายงานผลการศึกษาเพิ่มเติมนอกขอบเขตงานวิจัยโดยใช้ Petroleum resin, Terpene phenolic resin, และ ขัน (Dammar) เป็นส่วนสมร่วมในการน้ำยาหง蓉ชาติอีพอกไซด์

### 4.9 สมบัติของน้ำยาหง蓉ชาติอีพอกไซด์ต่อระยะเวลาการเก็บ

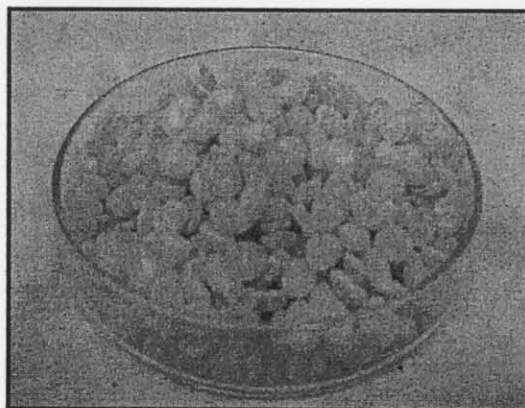
สมบัติของน้ำยาหง蓉ชาติอีพอกไซด์ที่ทำการทดสอบต่อระยะเวลาการเก็บ 10 สัปดาห์ คือ ปริมาณอนุอีพอกไซด์ อุณหภูมิกล้ายแก้ว ความหนืด และความเป็นกรด-ด่าง ดังตารางที่ 19 พบว่าเมื่อเวลาเปลี่ยนไปสมบัติของน้ำยาหง蓉ชาติอีพอกไซด์ที่กล่าวมาทุกดัวมีค่าคงเดิม ไม่เปลี่ยนแปลงไปตามเวลา แสดงให้เห็นวาน้ำยาหง蓉ชาติอีพอกไซด์ที่ใช้ในการเตรียมความมีความเสถียรค่อนข้างสูง

### ตารางที่ 19 แสดงสมบัติของน้ำยาหง蓉ชาติอีพอกไซด์ต่อระยะเวลาการเก็บ

ระยะเวลา	Mole% Epoxidized	อุณหภูมิกล้ายแก้ว (°C)	ค่าความหนืด (cps)	ความเป็นกรด-ด่าง (pH)
เริ่มต้น	42.8	-24.4	9600	8.33
2 สัปดาห์	42.8	-24.4	9600	8.32
4 สัปดาห์	42.8	-24.4	9600	8.32
6 สัปดาห์	42.8	-24.4	9600	8.32
8 สัปดาห์	42.8	-24.4	9600	8.32
10 สัปดาห์	42.8	-24.4	9600	8.32

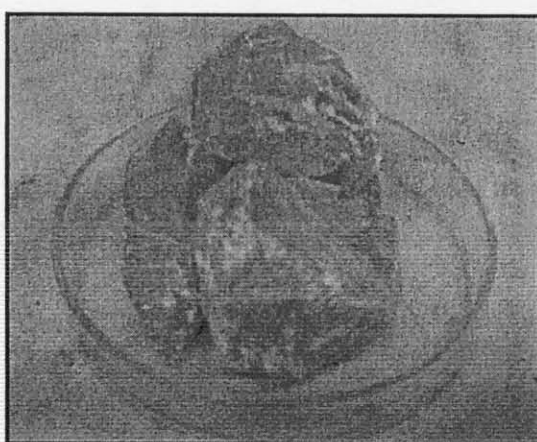
#### 4.10 สารเพิ่มการยึดติด

Petroleum resin มีลักษณะเป็นอนุภาคของแข็งขนาดเล็กสีเหลืองปนน้ำตาล มีความสามารถในการยึดติดที่ดี เป็นสารที่ช่วยเพิ่มความสามารถในการยึดติดของ Adhesives ประเภทต่างๆ ทัน กรดและสามารถผสมกับน้ำยาหงธรมชาติได้เป็นอย่างดี ดังแสดงในภาพประกอบที่ 60



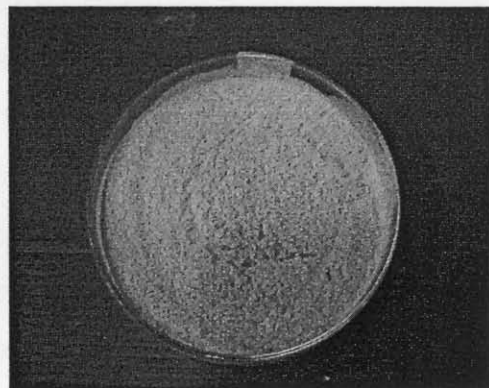
ภาพประกอบที่ 60 Petroleum resin

Terpene phenolic resin มีลักษณะเป็นก้อนของแข็งสีเหลืองปนน้ำตาล ดังแสดงในภาพประกอบที่ 61 เป็นสารที่ช่วยเพิ่มความสามารถในการยึดติดของ Adhesives ประเภทต่างๆ สามารถเดิมพสมลงในสารทั้งที่เป็น Organic และ Inorganic และซึมผ่านเข้าสู่โครงสร้างต่างๆ ได้อย่างรวดเร็วนิยมใช้เป็นตัวเชื่อมประสาน



ภาพประกอบที่ 61 Terpene phenolic resin

ชัน (Dammar) ลักษณะทางกายภาพของชันมีลักษณะเป็นผงละเอียด สีน้ำตาลเทา เมื่อนำมาวิเคราะห์ทางนาโนภาคด้วยเครื่องวัดขนาดอนุภาค (Laser Particle Size Analyzer) พบว่า มีขนาดอนุภาคอยู่ในช่วง 0.275 ถึง 2.5 ไมโครเมตร แต่เมื่อนำมาทำการบดพร้อมเติมสารช่วยกระจายให้อยู่ในรูป 20 เปลอร์เซ็นต์ดิสเพรสชันเป็นเวลา 4 วัน พบว่างานาคนอนุภาคเคลือบส่วนใหญ่มีค่า 1.42 ไมโครเมตร มีสูตรโครงสร้างที่มีหมู่ฟังก์ชันเป็นหมู่ไฮดรอกซิด (OH) ดังแสดงในภาพประกอบที่ 62 ซึ่งเป็นหมู่ที่แสดงสมบัติความเป็นข้าวของสาร โดยหมู่ฟังก์ชันดังกล่าวจะทำหน้าที่ในการเชื่อมพันธะกับหมู่อีพอกไซด์ของยางธรรมชาติอีพอกไซด์



ภาพประกอบที่ 62 ชัน (Dammar)

#### 4.11 กาวยางธรรมชาติอีพอกไซด์

ในการเตรียมกาวยางเช่นเดียวกับการทดลองส่วนที่ 1 คือใช้ยางธรรมชาติอีพอกไซด์ 44 ไมล์เปลอร์เซ็นต์อีพอกไซด์และใช้สูตรปรับปรุง โดยมีการเตรียมกาวตามปริมาณและชนิดของสารเพิ่มการยึดติด ดังแสดงในตารางที่ 20

ตารางที่ 20 แสดงการวิเคราะห์ปรับปรุงโดยปรับเปลี่ยนชนิด และปริมาณของสารเพิ่มการยึดติด

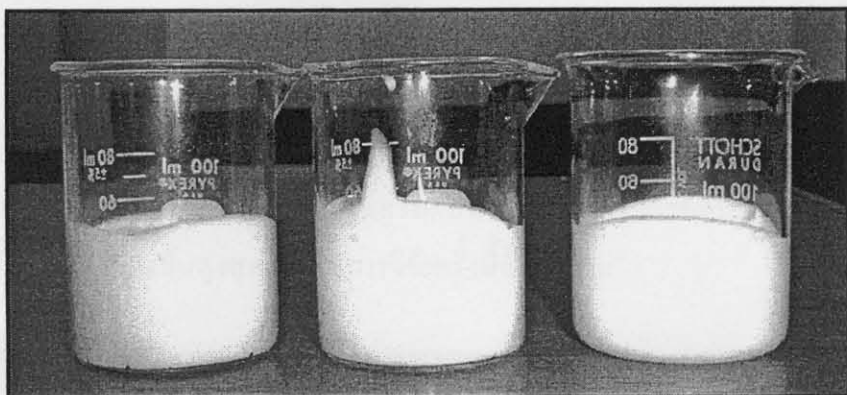
สูตรกาว	การและสารเพิ่มการยึดติด	ปริมาณสารเพิ่มการยึดติด phr (น้ำหนักแห้ง)
1	กาวยางไม้ผสมสารเพิ่มการยึดติด	
2	TOA (กาวโพลีไวนิลอะซีเทออลมัลตัน)	
3	Urea Formaldehyde (UF)*	
4	กาวยางพสน Petroleum resin	15
5	กาวยางพสน Petroleum resin	30
6	กาวยางพสน Petroleum resin	45
7	กาวยางพสน Terpene phenolic resin	30
8	กาวยางพสน Terpene phenolic resin	45
9	กาวยางพสน Terpene phenolic resin	60
10	กาวยางพสนชัน	10
11	กาวยางพสนชัน	15
12	กาวยางพสนชัน	20

หมายเหตุ\* กาวสังเคราะห์ที่ใช้ในโรงงานได้รับความอนุเคราะห์จากโรงงาน APS WOODS  
PRODUCTS ถนนกาญจนวนิชย์ ตำบลพะคง อําเภอหาดใหญ่ จังหวัดสงขลา 90230

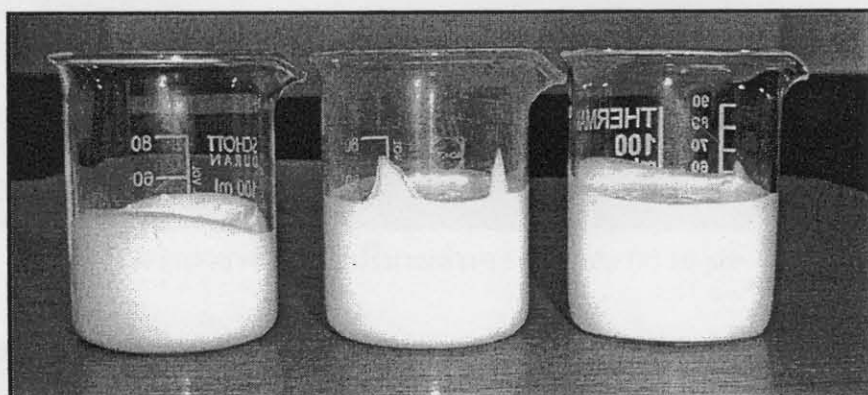
กาวที่ได้มีลักษณะดังนี้

#### 4.11.1 กาวยางพสนสารเพิ่มการยึดติด คือ Terpene phenolic resin และ กาวยางพสนสารเพิ่มการยึดติด คือ Petroleum resin

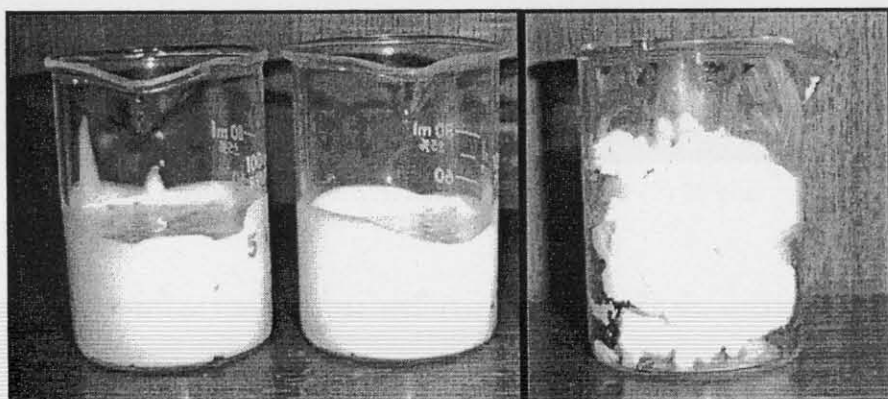
กาวยางที่เตรียมได้จากการใช้ Terpene phenolic resin และ Petroleum resin เป็นสารเพิ่มการยึดติด โดยมีการแปรปริมาณของสารเพิ่มการยึดติดทั้งสองชนิดดังนี้คือ 15, 30, 45 และ 60 phr พบว่ากาวยางทุกสูตรมีลักษณะเป็นครึ่นข้นมีสีเหลืองอ่อนๆ ใกล้เคียงกัน ยกเว้นกาวยางพสน Petroleum resin 60 phr มีการขับดัวเป็นก้อนสีเหลืองอ่อน ไม่สามารถนำไปใช้เป็นการได้ดังนั้นปริมาณของ Petroleum resin สูงสุดที่ใช้ในการวิจัยครั้งนี้คือ 45 phr



A : การยางพสنم Terpene phenolic resin ปริมาณต่างๆ : (1) 0 phr (2) 15 phr (3) 30 phr



B : การยางพสنم Terpene phenolic resin ปริมาณต่างๆ : (1) 45 phr (2) 60 phr  
(3) การยางพสنم Petroleum resin 15 phr

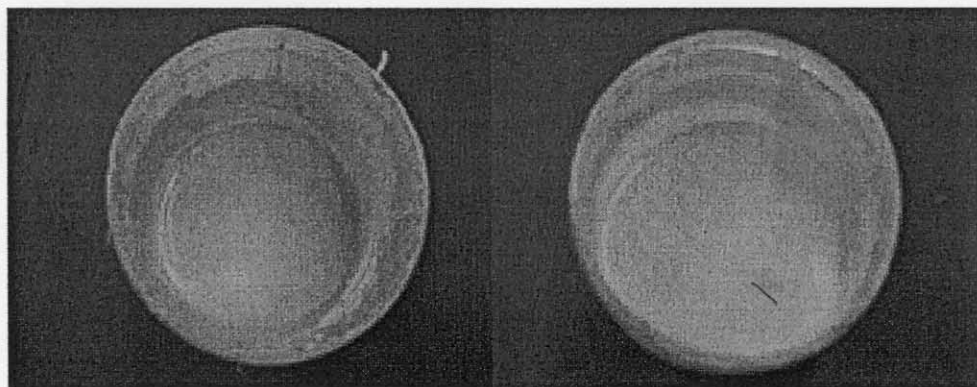


C : การยางพสنم Petroleum resin ปริมาณต่างๆ : (1) 30 phr (2) 45 phr (3) 60 phr

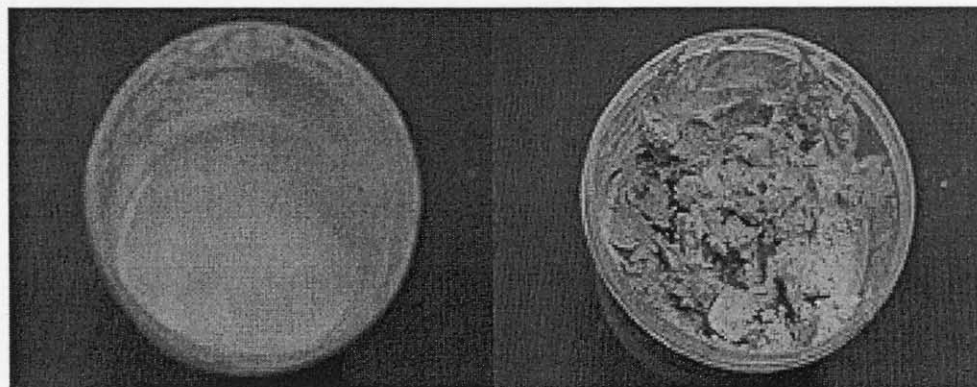
ภาพประกอบที่ 63 แสดงการยางโดยมีสารเพิ่มการยึดติด กือ Terpene phenolic resin และ Petroleum resin ที่ปริมาณต่างๆ

#### 4.11.2 ကาวယางพสมสารเพิ่มการยึดติดคือ ชัน (Dammar)

ကาวယางที่เตรียมได้จากการใช้ชันเป็นสารเพิ่มการยึดติด โดยมีการแปรปริมาณของชันดังนี้คือ 5, 10, 15 และ 20 phr พบว่า ကาวယางทุกสูตร มีลักษณะเป็นครีมข้น มีสีน้ำตาลอ่อน ยกเว้น ကาวယางพสมชัน 20 phr มีลักษณะเป็นครีมค่อนข้างแห้งสีน้ำตาลอ่อน สามารถนำไปใช้เป็นการได้ดังนั้น ปริมาณของชันสูงสุดที่ใช้ในการวิจัยครั้งนี้คือ 20 phr



A : ကาวယางพสมชันปริมาณต่างๆ : (1) 5 phr (2) 10 phr



B : ကาวယางพสมชันปริมาณต่างๆ : (1) 15 phr (2) 20 phr

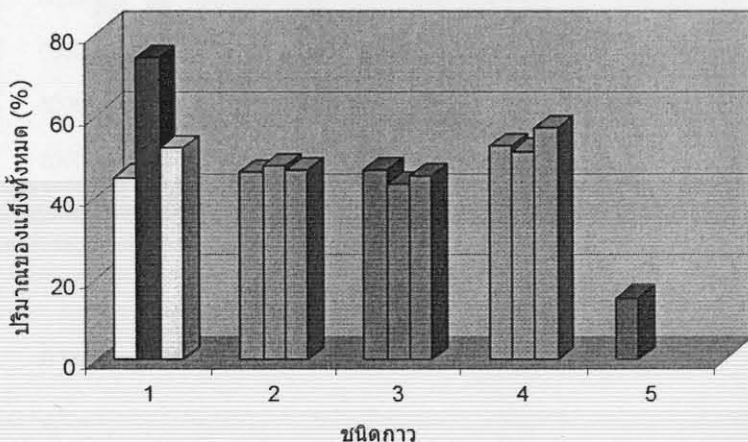
ภาพประกอบที่ 64 แสดง ကาวယาง โดยมีสารเพิ่มการยึดติดคือ ชัน ที่ปริมาณต่างๆ

#### 4.12 การทดสอบคุณสมบัติของการยาง

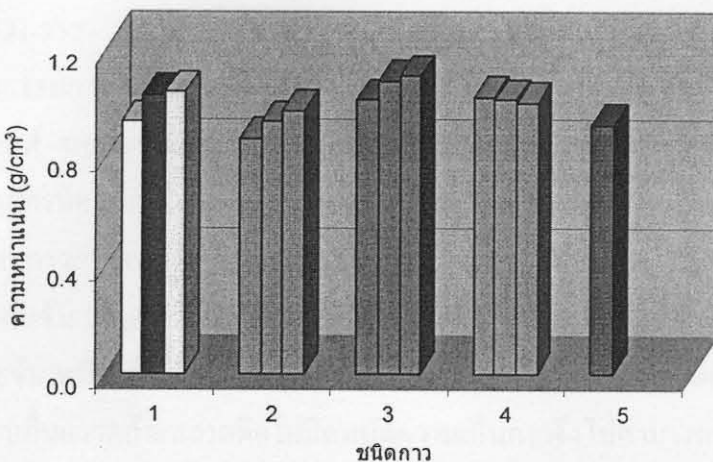
จากการยางที่เตรียมได้นำมาทดสอบคุณสมบัติของการยางตามมาตรฐานอุตสาหกรรมการยาง มอก. 521-2527 [22] ได้แก่ การหาปริมาณของแข็งทั้งหมด (เนื้อภาวะ) ความหนาแน่น ความหนืด และมาตรฐานอุตสาหกรรมการพอลีไวนิลอะซิเทตอินลัชัน มอก. 181-2530 [23] ได้แก่ การทดสอบความเป็นกรด-ด่าง ซึ่งผลที่ได้จากการทดสอบแสดงดังภาพประกอบที่ 65-68 ตามลำดับโดยมีหมายเลขสัญลักษณ์แทนการแต่ละชนิดโดยเรียงลำดับจากซ้ายไปขวาตามรายการดังต่อไปนี้

ตารางที่ 21 สัญลักษณ์หมายเลขแทนชนิดของการ

หมายเลข	ชนิดของการ
1	การยางที่ไม่ใส่สารตัวเติม, การ TOA, การยูเรียฟอร์มัลตีไซด์
2	การยางผสม Petroleum resin 15, 30, และ 45 phr
3	การยางผสม Terpene phenolic resin 30, 45 และ 60 phr
4	การยางผสมชัน 10, 15 และ 20 phr
5	การยางตามมอก. 521-2527 (ใช้อ้างอิงการทดสอบปริมาณเนื้อภาวะ ความหนาแน่น และความหนืด) และมอก. 181-2530 (ใช้อ้างอิง การทดสอบความเป็นกรด-ด่าง)



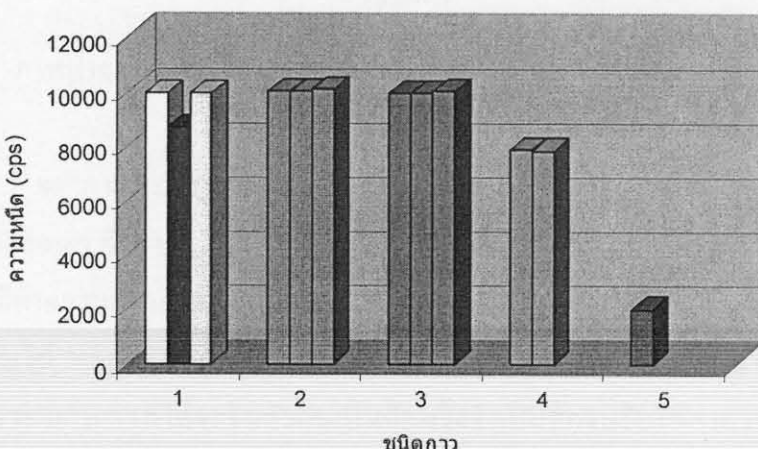
ภาพประกอบที่ 65 กราฟแสดงผลของการทดสอบคุณสมบัติของการยาง



ภาพประกอบที่ 66 กราฟแสดงผลของชนิดการต่อความหนาแน่น

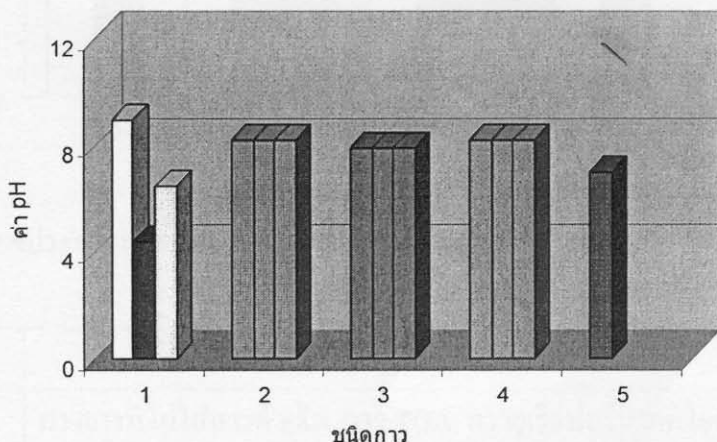
จากภาพประกอบที่ 65 และ 66 พบว่าปริมาณเนื้อภาวะทุกสูตรผ่านมาตรฐาน

ผลิตภัณฑ์อุตสาหกรรมกาวยาง นอค.521-2527 [22] ซึ่งกำหนดว่าในการใช้งานหัวไปต้องมีปริมาณเนื้อภาวะไม่น้อยกว่าร้อยละ 15 สำหรับความหนาแน่น กาวทุกสูตรผ่านมาตรฐาน ผลิตภัณฑ์อุตสาหกรรมกาวยาง นอค.521-2527 [23] ซึ่งค่าความหนาแน่นมีค่าอยู่ในช่วง 0.93 ถึง 1.08 กรัมต่อลูกบาศเชนติเมตร ยกเว้นกาวยางพสม Petroleum resin 15 phr ที่ไม่ผ่านมาตรฐาน ผลิตภัณฑ์อุตสาหกรรมกาวยาง ซึ่งมีค่าความหนาแน่นประมาณ 0.87 กรัมต่อลูกบาศเชนติเมตร



ภาพประกอบที่ 67 กราฟแสดงผลของชนิดการต่อความน้ำดี

จากภาพประกอบที่ 67 พบว่าความทุกสูตรผ่านมาตรฐานผลิตภัณฑ์อุตสาหกรรม กาวยาง นอก.521-2527 [22] ที่กำหนดไม่น้อยกว่า 1500 เซนติพอยส์ และมาตรฐาน ผลิตภัณฑ์อุตสาหกรรมการโพลีไวนิลอะซิเทเดอิมัลชันสำหรับไม้ นอก.181-2530 [23] ที่กำหนดไว้ที่ 2000 เซนติพอยส์ นอกจากนี้พบว่ากาวยางผสม Petroleum resin และกาวยางผสม Terpene phenolic resin ทุกสูตรมีความหนืดใกล้เคียงความหนืดของกาวyuเรียฟอร์มอลดีไซด์ซึ่งมีค่าประมาณ 9900 เซนติพอยส์ กาวยางผสมชั้น 10 และ 15 phr มีค่าความหนืดประมาณ 7800 เซนติพอยส์ สำหรับกาวยางผสมชั้น 20 phr เมื่อทำการใส่โปเปแตสเซรีม โอลีอे�ตลงไปใหม่ๆ พบว่ากาวชนิดดังกล่าวมีลักษณะขันเหนียวติดดีแต่เมื่อตั้งทิ้งไว้เกินกว่า 1 ชั่วโมงพบว่ากาวมีลักษณะแห้งคล้ายฟองน้ำผิวหน้าเรียบลื่นแวรคล้ายพลาสติกไม่มีสมบัติความเป็นการจึงไม่สามารถทำการทดสอบหาความหนืดได้

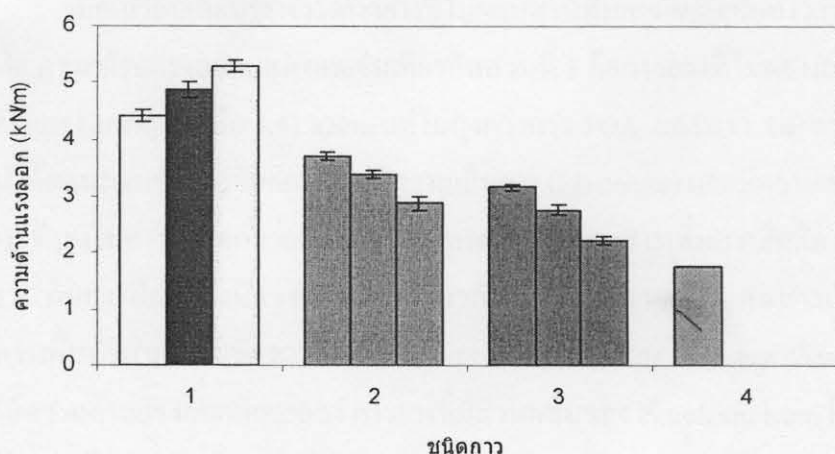


ภาพประกอบที่ 68 กราฟแสดงผลของชนิดกาวต่อความเป็นกรด-ค่าง

จากภาพประกอบที่ 68 พบว่าความทุกสูตรมีค่าความเป็นกรด-ค่างใกล้เคียงกัน โดยมีความเป็นค่างอ่อนๆ ซึ่งต่างจากการ TOA และกาวyuเรียฟอร์มอลดีไซด์ที่มีความเป็นกรดอ่อนๆ มากที่ผลิตได้มีค่าความเป็นกรด-ค่างสูงกว่ามาตรฐานผลิตภัณฑ์อุตสาหกรรมโพลีไวนิลอะซิเทเดอิมัลชันสำหรับไม้ นอก.181-2530 [23] ซึ่งกำหนดไว้อยู่ในช่วง 4 ถึง 7 เนื่องจากถ้าออกสูตรกาวในช่วงดังกล่าวพบว่ากาวที่ได้จะจับตัวกันเป็นก้อนจึงเป็นต้องปรับให้ค่าความเป็นกรด-ค่างมีความใกล้เคียงกับสารเคมีที่ใช้ในการออกสูตรกาว

#### 4.13 การทดสอบความต้านแรงลอก

การทดสอบความต้านแรงลอกเป็นการทดสอบการที่แข็งตัวอย่างสมบูรณ์ เพื่อประเมินแรงยึดเกาะของกาวกับไม้ยางพารา โดยการทดสอบจะใช้ชิ้นทดสอบ 5 ชิ้นต่อหนึ่งตัวอย่าง ซึ่งผลการทดสอบ แสดงดังภาพประกอบที่ 69



ภาพประกอบที่ 69 กราฟแสดงผลของชนิดกาวต่อความต้านแรงลอก

หมายเลข	ชนิดของกาว
1	กาวยางที่ไม่ได้สารตัวเติม, กาว TOA, กาวyuเรียฟอร์มอลดีไซด์
2	กาวยางพสน Petroleum resin 15, 30, และ 45 phr
3	กาวยางพสน Terpene phenolic resin 30, 45 และ 60 phr
4	กาวยางงานวิจัยของอรสา ภัทรไพบูลย์ชัย และเรวดี แต่งเกลี้ยง [44]

จากภาพประกอบที่ 69 แสดงผลของชนิดกาวต่อความต้านแรงลอกของกาวยาง พสน Petroleum resin และกาวยางพสน Terpene phenolic resin พบว่าจากการทดสอบความต้านแรงลอกมีค่าความเบี่ยงเบนมาตรฐาน (Standard deviation, SD) อยู่ในช่วง 0.05-0.14 ผลการทดสอบมีความถูกต้องอย่างมีนัยสำคัญ ชิ้นทดสอบที่ติดกาว TOA และกาว UF ภายหลังการดึงลอกมีส่วนของเศษไม้ของชิ้นทดสอบด้านหนึ่งติดอยู่กับชิ้นทดสอบอีกด้าน แสดงให้เห็นว่ากาว TOA และกาว UF มีการดูดซึมและซึมซาบของกาวไปตามรูพรุนในเนื้อไม้ได้ดีทำให้เกิดแรงยึดเกาะระหว่างกาวกับไม้สูง ส่งผลให้ความต้านแรงลอกมีค่าสูงกวากาวยางที่ไม่ได้พสนสารเพิ่มการยึดติด และกาวยาง

สูตรต่างๆ ที่ผสมสารเพิ่มการยึดติด ในขณะที่กาวยางที่ไม่ได้ผสมสารเพิ่มการยึดติด และกาวยาง สูตรต่างๆ ที่ผสมสารเพิ่มการยึดติด ซึ่งไม่ทดสอบทั้งสองแยกออกจากกัน โดยไม่มีเศษไม้ติดมาด้วย มีแต่ทราบกาวยางที่แห้งติดอยู่บนชิ้นทดสอบทั้งสองด้าน ส่วนใหญ่กาวอยู่เฉพาะบริเวณผิวน้ำทำให้แรงยึดเกาะระหว่างกาวกับไม้ตัว อ่อนกว่ากีดตามยังไม่ได้มีการวัดขนาดของอนุภาคของกาวยาง ผสม Petroleum resin 15, 30, และ 45 phr และกาวยางผสม Terpene phenolic resin 30, 45 และ 60 phr เพื่อยืนยันผลว่าขนาดของอนุภาคกาวไม่มีผลต่อชีวภาพของการไปตามรูป/run ในเนื้อไม้

เมื่อเปรียบเทียบระหว่างกาวยางที่ไม่ผสมสารเพิ่มการยึดติดกับกาวยางที่ผสมสารเพิ่มการยึดติด ความต้านแรงลอกแสลงผลลัพธ์เดียวกับส่วนที่ 1 คือกาวยางที่ไม่ผสมสารเพิ่มการยึดติดมีความต้านแรงลอกสูงสุดคือ  $4.41 \text{ kN/m}$  แต่ไม่สูงกว่ากาว TOA และกาว UF อาจเนื่องมาจากการที่ไม่ได้ผสมสารเพิ่มการยึดติดมีสมบัติความเป็นยาง (Elastomer) และมีความเหนียวมากกว่า จึงทำให้ต้องใช้แรงในการดึงลอกมากกว่ากาวยางสูตรต่างๆ ที่ผสมสารเพิ่มการยึดติด อีกทั้งกาวยางที่ไม่ผสมสารเพิ่มการยึดติดยังมีความเป็นเนื้อดียกันมากกว่ากาวยางที่ผสมสารเพิ่มการยึดติด นอกจากนี้การเพิ่มปริมาณสารเพิ่มการยึดติดทั้ง Petroleum resin และ Terpene phenolic resin ในกาวยางทำให้ความต้านแรงลอกมีค่าลดลง กาวยางที่มีส่วนผสมของ Petroleum resin ที่อัตราส่วน 15 phr แสดงค่าความต้านแรงลอกสูงสุดเท่ากับ  $3.70 \text{ kN/m}$

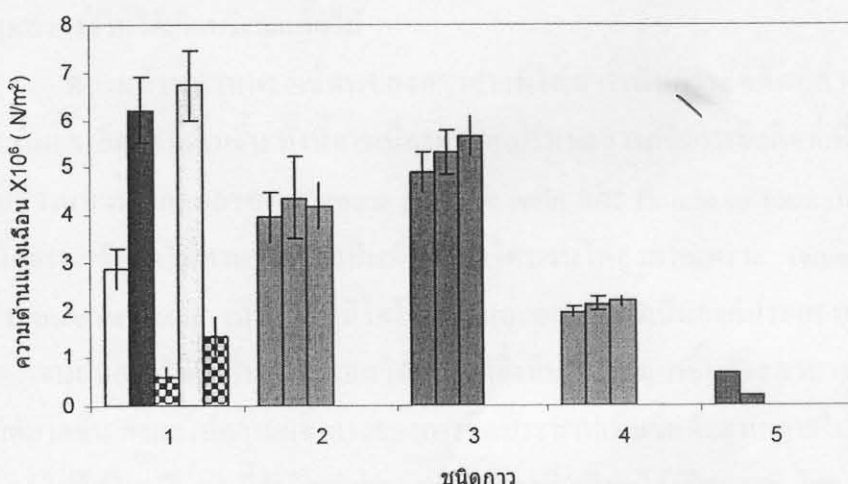
เมื่อเปรียบเทียบกับกาวยางที่มีส่วนผสมของแป้งข้าวเหนียวเจลلاتีนizer และกาวยางที่มีส่วนผสมของคิวามะโนนอิมัลชัน พบว่าความต้านแรงลอกของกาวยางที่มีส่วนผสม Petroleum resin และ กาวยางที่มีส่วนผสม Terpene phenolic resin ให้ค่าความต้านแรงลอกสูงกว่า แต่หากเปรียบเทียบกับความต้านแรงลอกของกาวยางที่มีส่วนผสมของแป้งข้าวเหนียวเจลلاتีนizer ร่วมกับคิวามะโนนอิมัลชัน พบว่ามีค่าไกล์เคียงกับความต้านแรงลอกของกาวยางที่มีส่วนผสม Petroleum resin และ กาวยางที่มีส่วนผสม Terpene phenolic resin

เมื่อเปรียบเทียบผลการทดลองกับงานวิจัยของอรสา ภัทร ไพบูลย์ชัย และเรวดี แต่งเกลี้ยง (2544) ซึ่งใช้สูตรในการผลิตกาวไกล์เคียงกับงานวิจัยนี้โดยผลิตจากน้ำยางข้น พบว่า กาวยางที่ไม่ผสมสารเพิ่มการยึดติดมีค่าความต้านแรงลอกเท่ากับ  $1.75 \text{ kN/m}$  และงานวิจัยของ อชาชัย แกสман และคณะ [32] พบว่ากาวจากยางแห้งที่ไม่ผสมสารเพิ่มการยึดติดมีค่าความต้านแรงลอกเท่ากับ  $1.90 \times 10^{-3} \text{ kN/m}$  และการที่ผสม coumarone indene resin ที่ 10 phr ให้ค่าความต้านแรงลอกสูงสุดเท่ากับ  $3.53 \times 10^{-3} \text{ kN/m}$  จากงานวิจัยทั้งสอง พบว่ากาวยางที่ผลิตจากน้ำยางธรรมชาติ อีพอกไซด์ที่ไม่ผสมสารเพิ่มการยึดติดให้ค่าความต้านแรงลอกเท่ากับ  $4.4 \text{ kN/m}$  ซึ่งค่าที่ได้สูงกว่า การที่ผลิตจากน้ำยางข้นและการที่ผลิตจากยางแห้ง อ่อนกว่ากีดตามงานวิจัยนี้ไม่สามารถทดสอบ

ความต้านแรงลอกหลังการ เช่น น้ำของกาวทุกชนิด ได้เนื่องจากการเกิดการหลุดล่อนของการและไม่ใช่หลังการ เช่น น้ำ

#### 4.14 การทดสอบความต้านแรงเฉือน

การทดสอบความต้านแรงเฉือนเป็นการทดสอบการที่แข็งตัวอย่างสมบูรณ์ เพื่อประเมินแรงยึดเกาะของกาวกับไม้ยางพารา เช่นเดียวกับการทดสอบความต้านแรงลอก แต่จะใช้ชิ้นทดสอบ 10 ชิ้นต่อหนึ่งตัวอย่าง ซึ่งผลการทดสอบ แสดงดังภาพประกอบที่ 70



ภาพประกอบที่ 70 กราฟแสดงผลของชนิดกาวต่อความต้านแรงเฉือน

หมายเลข	ชนิดของกาว
1	กาวยางที่ไม่ใส่สารตัวเดิน, กาว TOA, กาว TOA ( เช่น น้ำ ), กาว UF, กาว UF ( เช่น น้ำ )
2	กาวยางผสม Petroleum resin 15, 30, และ 45 phr
3	กาวยางผสม Terpene phenolic resin 30, 45 และ 60 phr
4	กาวยางผสมชัน 10, 15 และ 20 phr
5	กาวยางงานวิจัยของอรสา กัทร ไพบูลย์ชัย และเรวดี แต่งเกลี้ยง [44], มาตรฐาน พลิตภัณฑ์อุตสาหกรรมโพลีไวนิลอะซิเทตอิมัลชันสำหรับไม้ นก.181-2530 [23]

จากภาพประกอบที่ 70 แสดงผลของชนิดการต่อความด้านแรงเฉือน พนว  
ชิ้นทดสอบที่ติดกาว TOA และกาว UF ภายหลังการคีมส่วนของเศษไม้ของชิ้นทดสอบด้านหนึ่ง<sup>1</sup>  
ติดอยู่กับชิ้นทดสอบอีกด้าน แสดงให้เห็นว่ากาว TOA และกาว UF มีการคุกซึมและซึมซาบของ  
กาวไปตามรูพรุนในเนื้อไม้ได้ดีทำให้เกิดแรงยึดเกาะระหว่างกาวกับไม้สูง ส่งผลให้ความด้านแรง  
เฉือนมีค่าสูงกว่ากาวยางที่ไม่ได้ผ่านสารเพิ่มการยึดติด และกาวยางสูตรต่างๆ ที่ผ่านสารเพิ่มการยึด  
ติด ในขณะที่กาวยางที่ไม่ได้ใส่สารเพิ่มการยึดติด และกาวยางสูตรต่างๆ ที่ใส่สารเพิ่มการยึดติด  
ชิ้นไม้ทดสอบหั้งสองแยกออกจากกัน โดยไม่มีเศษไม้ติดมาด้วยมีแต่ร่องรอยกาวยางที่แห้งติดอยู่บน  
ชิ้นทดสอบหั้งสองด้าน เหตุผลเช่นเดียวกับการอธิบายผลของชนิดการต่อความด้านแรงลอก เนื่อง  
กว่าส่วนใหญ่อยู่เฉพาะบริเวณผิวน้ำทำให้แรงยึดเกาะระหว่างกาวกับไม้ต่ำ จึงทำให้ค่าความด้าน<sup>2</sup>  
แรงเฉือนที่ได้มีน้อยลงและลักษณะของชิ้นทดสอบของกาวยางภายหลังการคีมเกิดความเสียหาย  
เฉพาะตรงจุดหากาวไม่ได้เกิดบริเวณเนื้อไม้

ความด้านทานแรงเฉือนของกาวยางที่ใส่สารเพิ่มการยึดติดมีค่าเพิ่มขึ้นตาม  
ปริมาณสารเพิ่มการยึดติดที่เพิ่มขึ้น ทั้งนี้อาจเนื่องมาจากปริมาณสารเพิ่มการยึดติดที่เพิ่มมากขึ้นทำ  
ให้แนวโน้มที่วงแหวนโนเลกุลของ Terpene phenolic resin และ Petroleum resin แตกออกแล้ว  
เกิดเป็นหมู่ไออกซิลทำให้สามารถเกิดเป็นพันธะไฮโครเจนได้สูงมาก เพราะ Terpene phenolic  
resin และ Petroleum resin เป็นสารที่มีไฮโครเจนและออกซิเจนเป็นองค์ประกอบสามารถเกิด<sup>3</sup>  
พันธะไฮโครเจนกับเนื้อไม้ที่เป็นเซลลูโลสได้และถ้าขึ้นเป็นจำนวนมากก็จะสามารถเกิดพันธะ<sup>4</sup>  
ไฮโครเจนได้มากขึ้น ส่งผลให้ความแข็งแรงของการติดประสานเพิ่มขึ้นด้วย แต่การใส่สารเพิ่มการ  
ยึดติดสามารถใส่ได้ในปริมาณที่จำกัด เพราะจะทำให้กาวที่เตรียมได้เสียสภาพ โดย Petroleum  
resin สามารถใส่ได้ในปริมาณสูงสุด 45 phr ในขณะที่ Terpene phenolic resin ใส่ได้ถึง 60 phr และ<sup>5</sup>  
ยังมีแนวโน้มที่สามารถใส่เพิ่มได้อีก จากการทดลองกาวยางที่ใส่ Terpene phenolic resin 60 phr  
ให้ค่าความด้านแรงเฉือนสูงสุดเมื่อเปรียบเทียบกับกาวยางสูตรอื่นๆ ซึ่งรวมถึงกาวยางที่มีส่วนผสม  
ของแป้งข้าวเหนียวเจลลาร์เซน และกาวยางที่มีส่วนผสมของคิวโนโรโนมิลลัชัน

เมื่อเปรียบเทียบกับงานวิจัยของอรสา ภัทรไพบูลย์ชัย และเรวดี แต่งเกลียง [44]  
ที่ผิดกาวจากน้ำยางข้น พนวจว่าความด้านแรงเฉือนของกาวที่ไม่ผ่านสารเพิ่มการยึดติดมีค่าเท่ากับ<sup>6</sup>  
 $0.69 \times 10^6 \text{ N/m}^2$  ซึ่งค่าที่ได้นี้อยู่กว่ากาวที่ผิดกาวจากน้ำยางธรรมชาติอย่างมาก ใช้คีมที่ไม่ผ่านสารเพิ่มการ  
ยึดติดมีค่าแรงเฉือนเท่ากับ  $2.85 \times 10^6 \text{ N/m}^2$  ซึ่งจะเห็นได้ว่าการผลิตกาวโดยเลือกใช้น้ำยางพาราเป็น<sup>7</sup>  
วัตถุดีบุคคลิกว่าการใช้น้ำยางแห้ง เนื่องจากกาวที่ผลิตได้จะมีสมบัติด้านการยึดติดที่ดีกว่า อย่างไรก็  
ตามงานวิจัยนี้ไม่สามารถทดสอบความด้านแรงลอกหลังการแร่น้ำของกาวทุกชนิดได้เนื่องจาก  
การเกิดการหลุดล่อนของกาวและไม่หลังการแร่น้ำ